Universidade Federal de Santa Catarina Pós-Graduação em Engenharia Elétrica

Dissertação submetida à Universidade Federal de Santa Catarina,

Pós-Graduação em Engenharia Elétrica, para preenchimento dos requisitos parciais para obtenção do Título de Mestre em Engenharia Elétrica.

IMPLEMENTAÇÃO DE UMA BIBLIOTECA INFORMÁTICA PARA DIVERSOS TIPOS DE ELEMENTOS FINITOS EM 2D E 3D

Autor: Emerson Silveira Serafim

Orientador: João Pedro Assumpção Bastos

Florianópolis – Santa Catarina Março de 1998 Implementação de uma Biblioteca Informática Diversos Tipos de Elementos Finitos em Duas e Três Dimensões.

Emerson Silveira Serafim

Esta dissertação foi julgada adequada para obtenção do título de Mestre em Engenharia, especialidade Engenharia Elétrica e aprovada em sua forma final pelo curso de Pós-Graduação

Prof. João Pedro Assumpção Bastos, Dr.

ORIENTADOR

Prof. Adroaldo Raizer, Dr.

Coordenador do Curso de Pos-Graduação

em Engenharia Elétrica

BANCA EXAMINADORA:

Prof. João Pedro Assumpção Bastos, Dr.

Prof. Patrick Kuo-Peng, Dr.

-Sr. Marcelo Vanti, Dr.

RESUMO

Neste trabalho, fez-se um estudo e implementação de uma biblioteca informática de funções de forma para diversos tipos de elementos finitos, em duas e três dimensões.

Inicialmente, estudou-se as formulações relativas a aplicação do Método dos Resíduos Ponderados, formulações matriciais e os procedimentos númericos necessários para resolução dos mesmos.

Na sequência, são apresentados os vários tipos de elementos finitos com suas respectivas funções de forma e características.

Finalmente, é descrita a implementação da biblioteca informática.

ABSTRACT

This work is related to the implementation of a numerical library of shape functions for different types of finite elements, in two and three dimensions.

In the firsty part of this work we present the Weighted Residual Method applications, the corresponding matrix formulation and the procedures for the numerical resolution. Then, different types of finite elements with its respective shape functions and general characteristics are presented.

Finally the implementation of the numerical libary is described.

AGRADECIMENTOS

Inicialmente, gostaria de dedicar este trabalho aos meus pais Itamar José Serafim e Zuleide Silveira Serafim, sem os quais jamais teria chegado aonde estou, e também a meus irmãos Jefferson Silveira Serafim e Elaine Silveira Serafim.

Gostaria de agradecer ao meu orientador e amigo Professor João Pedro Assumpção Bastos, pelo apoio e por seus esclarecimentos, sempre objetivando um rumo correto e eficiente, e também pela sua confiança.

Gostaria de agradecer também ao apoio e amizade dos Professores Nelson Sadowski e Patrick Kuo Peng e ao Sr. Marcelo Vanti.

A todos os amigos do GRUCAD (Grupo de Concepção e Análise de Dispositivos Eletromagnéticos) em especial ao Jorge, Ivan, Mauro, André, Maurício, Gianfranco, Claudia, Ana, Paulo, Airton, Pinho, Righi e Guilherme.

À excelente banca de examinadores desta dissertação, pela oportuna contribuição através de suas opiniões e sugestões.

Finalmente, a todos aqueles que direta ou indiretamente tiveram a sua parcela de contribuição ao longo deste trabalho, e a Deus por me propiciar paz e confiança nas horas mais difíceis.

Sumário

Resumo	i
Abstract	ii
Agradecimentos	iii
Sumário	iv
Simbologia	ix
Capítulo 1 – INTRODUÇÃO	
1.1 – Generalidades sobre o Método de Elementos Finitos	1
1.2 – Objetivos desta Dissertação	2
1.3 – Organização dos Capítulos desta dissertação	3
Capítulo 2 – FORMULAÇÃO DE INTEGRAIS PARA SISTEMAS FÍ	ÍSICOS
2.1 – Introdução	4
2.2 - Classificação dos Problemas Físicos	4
2.2.1 – Sistemas Contínuos e Discretos	4
2.2.2 – Problemas de Equilíbrio	4
2.3 – Método dos Resíduos Ponderados	5
2.3.1 – Resíduos	5
2.3.2 - Na Forma de Integrais	5
2.4 – Transformações das Integrais	6
2.4.1 – Integração por Partes	6
2.4.2 – Forma Fraca da Integral	7
2.5 – Discretização de Formas Integrais	7
2.5.1 – Discretização da Função W	7
$2.5.2$ – Escolha das Funções Ponderadas Ψ	8
2.5.2.1 - Método de Galerkin	8
Capítulo 3 - FORMULAÇÃO MATRICIAL DO MÉTODO DE	ELEMENTOS
FINITOS	
3.1 – Introdução	10
3.2 – Definição do Método de Elementos Finitos	10

3.3 – Forma Integral Discretizada W	13
3.3.1 – Expressão Matricial para W ^e	13
3.3.2 – Forma Integral W no Espaço do Elemento de Referência	14
3.3.2.1 – Transformção das Derivadas com relação a x	14
3.3.2.2 – Transformação do Domínio de Integração	14
3.3.2.3 - Transformação das Integrais de Contorno	15
$3.3.2.4$ – Expressões de $[k]$ e $\{f\}$ no espaço do elemento	
de referência	16
3.4 – Condensação da Forma Discretizada Global W	16
3.4.1 – Condensação pela Expansão das Matrizes Elementares	16
3.4.2 – Fases do Processo de Condensação	18
3.5 – Sistema Global de Equações	19
3.5.1 – Formulação do Sistema de Equações	19
3.5.2 – Introdução das Condições de Contorno	19
Capítulo 4 – PROCEDIMENTOS NUMÉRICOS	
4.1 – Introdução	20
4.2 – Integração Numérica	20
4.2.1 – Introdução	20
4.2.2 - Integração Numérica em Duas Dimensões	22
4.2.2.1 – Elementos Quadriláteros	23
4.2.2.2 – Elementos Triangulares	23
4.2.3 - Integração Numérica em Três Dimensões	24
4.2.3.1 – Elementos Hexaédricos	24
4.2.3.2 – Elementos Tetraédricos	25
4.2.4 – Escolha do Número de Pontos de Integração	25
4.3 – Solução de Sistemas de Equações Lineares	26
4.3.1 – Introdução	26
4.3.2 – Eliminação Gaussiana	27
Capítulo 5 – VÁRIOS TIPOS DE ELEMENTOS	
5.1 – Introdução	28
5.2 – Elemento de Referência	28

5.2.1 – Forma Algébrica da Função Aproximada $c(x)$	30
5.2.2 – Propriedades da Função Aproximada $c(x)$	31
5.3 - Transformação dos Operadores Diferenciais	33
5.3.1 – Generalidades	33
5.3.2 – Derivada Primeira	34
5.4 – Elementos Triangulares	36
5.4.1 – Sistema de Coordenadas	36
3.4.2 – Elemento Linear(triângulo, três nós, C ⁰)	36
5.4.3 – Tipo Lagrangiano(continuidade C ⁰)	37
5.4.3.1 – Elemento Quadrático(triângulo, seis nós, C ⁰)	38
5.4.3.2 – Elemento Cúbico Completo(triângulo, dez nós, C	²⁰)39
5.5 – Elementos Quadriláteros	40
5.5.1 – Sistema de Coordenadas	40
5.5.2 – Elemento Bilinear(quadrilátero, quatro nós, C ⁰)	41
5.5.3 – Elementos Lagrangianos de Ordem Superior(C ⁰)	42
5.5.3.1 – Quadrático Incompleto(quadrilátero, oito nós, C ⁰) 42
5.5.3.2 – Cúbico Incompleto(quadrilátero, doze nós, C ⁰)	43
5.6 – Elementos Tetraédricos(três-dimensões)	44
5.6.1 – Sistema de Coordenadas	44
5.6.2 – Elemento Linear(tetraédro, quatro nós, C ⁰)	44
5.6.3 – Elementos Lagrangianos de Ordem Superior(C ⁰)	45
5.6.3.1 – Quadrático Completo(tetraédro, dez nós, C ⁰)	45
5.6.3.2 – Cúbico Completo(tetraédro, vinte nós, C ⁰)	46
5.7 – Elementos Hexaédricos(três-dimensões)	47
5.7.1 – Elemento Trilinear(hexaédro, oito nós, C ⁰)	47
5.7.2 – Elementos Lagrangianos de Ordem Superior(C ⁰)	48
5.7.2.1 – Quadrático Incompleto(hexaédro, vinte nós, C ⁰)	48
5.7.2.2 - Cúbico Incompleto(hexaédro, trinta e dois nós, C ⁰)	50
Capítulo 6 – DESCRIÇÃO DAS BIBLIOTECAS	
6.1 – Introdução	52
6.2 - Nomenclatura e Declaração das Variáveis	52

	6.2.1 – Elementos em Duas Dimensões	52
	6.2.1.1 – Funções de Forma (ou de Interpolação)	52
	6.2.1.2 – Pontos de Integração	53
	6.2.2 – Elementos em Três Dimensões	55
	6.2.2.1 – Funções de Forma (ou de Interpolação)	55
	6.2.2.2 – Pontos de Integração	56
6.3	Apresentação da Biblioteca	57
	6.3.1 – Estrutura das Subrotinas	58
	6.3.2 - Teste das Subrotinas	59
Capítulo 7 -	- CONCLUSÃO	
7.1 –	Sobre as Bibliotecas	61
7.2 –	Trabalhos Futuros	62
REFERÊNO	CIA	63
ANEXOS:	1 – PROGRAMA PARA APLICAÇÃO DAS FUNÇÕES 2D	64
	2 – PROGRAMA PARA APLICAÇÃO DAS FUNÇÕES 3D	73
	3 - RESULTADOS ORTIDOS DOS PROGRAMAS EM 2D E	2 2 0 0 0

SIMBOLOGIA

$\langle a \rangle = \langle a_1 \ a_2 \dots a_n \rangle$	Parâmetros generalizados da aproximação
$\langle a_x \rangle, \langle a_y \rangle, \langle a_z \rangle$	Coordenadas generalizadas do elemento
$e(x) = c(x) - c_{\rm ex}(x)$	Erro de aproximação
[J],[j], det(J)	Matriz Jacobiana, sua inversa e seu determinante
n	Número de nós de interpolação
$n_{ m d}$	Número de graus de liberdade de um elemento
n^{e}	Número de nós de interpolação de um elemento
$n_{ m el}$	Número de elementos
$\frac{-}{n}$	Número de nós geométricos
$\frac{-e}{n}$	Número de nós geométricos de um elemento
$< N(x) > = < N_1(x) N_2(x) >$	Funções de interpolação nodais sobre o elemento real
$< N(u) > = < N_1(u) N_2(u) >$	Funções de interpolação sobre o elemento de referência
	> Funções de transformação geométrica
[<i>N</i>],< <i>N</i> >	Matrizes e vetores das funções de interpolação
$[P_{\mathrm{n}}],[P_{\mathrm{n}}^*]$	Matrizes nodais de interpolação
$< P(x) > = < P_1(x) P_2(x) >$	Base polinomial sobre o elemento real
$< P(u) > = < P_1(u) P_2(u) >$	Base polinomial sobre o elemento referência
< <i>P</i> *(<i>u</i>)>	Base polinomial da transformação geométrica
c(x)	Funções aproximadas
$c_{\mathrm{ex}}(x)$	Funções exatas
$c^{e}(x)$	Funções aproximadas sobre um elemento
$\langle c_{\mathbf{n}} \rangle = \langle c_1 \ c_2 \rangle$	Variáveis nodais
$\{C_{\mathbf{n}}\}$	Conjunto de todas as variáveis nodais
V	Domínio em estudo
V^{e}	Domínio do elemento real
V^{r}	Domínio do elemento de referência
$x = \langle x \ y \ z \rangle$	Coordenadas cartesianas de um ponto
$x_i = \langle x_i \ y_i \ z_i \rangle$	Coordenadas do nó i
< <i>x</i> _n >	Coordenadas dos nós de um elemento
$u = \langle u \ v \ p \rangle$	Coordenadas de um ponto do elemento de referência

< <i>u</i> _n >	Coordenadas dos nós de um elemento de referência				
$\langle u_{\rm n} \rangle$ $\langle \partial_{\rm x} \rangle, \langle \partial_{\rm u} \rangle$	Operadores diferenciais:				
	$\left\langle \frac{\partial}{\partial x} \frac{\partial}{\partial y} \frac{\partial}{\partial z} \right\rangle e \left\langle \frac{\partial}{\partial u} \frac{\partial}{\partial v} \frac{\partial}{\partial p} \right\rangle$				
t^{e}	Transformação geométrica do elemento e				
$ \cdot _{s} \cdot _{s}$	Máximo e norma ao quadrado das derivadas de ordem s de				
	uma função				
$E_{ m c}$	Conjunto de funções admissíveis c				
E_{Ψ}	Conjunto de funções ponderadas				
$f_{ m V}f_{ m S}$	Vetores de forças sobre o volume e a superfície				
$\{f\}$	Vetores de forças elementares				
$\{F\}$	Vetor de forças concentradas de um sistema discreto				
[k]	Matriz de elementos				
{ <i>K</i> *}	Matriz a ser integrada para obter k				
[<i>K</i>]	Sistema matricial global de um sistema discreto				
$[K^{e}]$	Matriz de elementos expandidas				
l,m,n	Componentes de vetores unitários perpendiculares as				
	fronteiras de um domínio				
L(u),C(u)	Operadores diferenciais definindo as equações governantes e				
	as condições de contorno de um sistema físico				
R	Resíduo correspondendo a uma equação diferencial parcial				
$S_{ m c}$, $S_{ m f}$	Partes da fronteira de um domínio onde c e f são especificados				
c	Variáveis desconhecidas de um sistema físico				
$W,W_1,W_2,$	Formas integrais				
W^{e}	Forma integral do elemento				
δc	Primeira variação de uma função				
$\{\delta c_{\mathbf{n}}\}$	Variação das variáveis nodais de um elemento				
$\psi, \psi_1, \psi_2, \dots$	Funções ponderadas				
[<i>B</i>]	Matriz relacionando os gradientes em x e as variáveis nodais				
$[B_{\delta}]$	Matriz relacionando as variações dos gradientes em x e as				
	variações das variáveis nodais				

Matriz relacionando os gradientes em u e as variáveis nodais

 $[B_{\mathrm{u}}]$

Matriz das propriedades do material					
Matriz de transformação dos gradientes					
Matriz de transformação das variáveis nodais					
Volume diferencial do elemento real e do elemento de					
referência					
Vetores a serem integrados para obter-se $f_V e f_S$					
Coeficientes ponderados da integração numérica					
Funções a serem integradas numericamente					
Vetor F depois da eliminação Gaussiana					
Matriz triangular superior da decomposição.					

Capítulo 1 - INTRODUÇÃO

1.1- Generalidades sobre o Método de Elementos Finitos

Nos últimos anos, modernos projetos de engenharia tornaram-se extremamente complexos, caros e assunto de rigorosa confiança e segurança. Veículos espaciais, aeronaves e reatores nucleares são exemplos de projetos onde a confiabilidade e a segurança são de crucial importância. Para um melhor entendimento, os projetistas precisavam de modelos matemáticos que pudessem ser usados para simular o comportamento de sistemas físicos complexos, que seriam então usados durante o desenvolvimento dos projetos.

As ciências de engenharia exigem em diversos casos, que sistemas físicos sejam modelados por equações diferenciais parciais. Hoje, o Método de Elementos Finitos (FEM) é o método mais difundido na resolução de tais equações. O método, associado com o desenvolvimento da tecnologia computacional, tem sido aplicado com sucesso na solução de problemas em regime transitório e permanente, em regiões lineares e não-lineares, para domínios em uma, duas ou três dimensões. Podendo ainda, modelar formas geométricas complexas, bem como descontinuidades em um material.

O processo de discretização em elementos finitos, analogamente ao processo de diferenças finitas, transformam as equações diferenciais em equações algébricas. Ele atua em três disciplinas fundamentais em Engenharia:

- física contínua:
- análise numérica;
- programação computacional.

A partir da década de 60, o método de elementos finitos tornou-se amplamente conhecido; pesquisas foram realizadas simultaneamente em várias partes do mundo, e em diferentes direções:

- os métodos variacionais e de resíduos ponderados foram aplicados à técnica numérica dos elementos finitos;
- uma enorme variedade de elementos foram desenvolvidos, incluindo elementos curvilíneos e a introdução do conceito de elementos isoparamétrico;
- o método foi generalizado para solução de equações diferenciais parciais; sua aplicação em problemas de estruturas não-lineares e dinâmicas foram amplamente

desenvolvidas; extensões em outros domínios, como mecânica dos sólidos, dos fluidos, termodinâmica, produziram soluções de problemas de engenharia antes inacessíveis.

A partir de 1967, muitos livros foram escritos sobre o Método de Elementos Finitos, com destaque para o professor Zienkiewicz[2], e também Gallagher[3], Rockey[4], Absi[5] e Imbert[6]. Durante o mesmo período, muitos periódicos apresentaram trabalhos sobre o método.

Um grande número de códigos computacionais utilizando o método foram desenvolvidos com sucesso para uso industrial. O maior problema de muitos, estava na preparação dos dados de entrada e na interpretação de volumosos dados de saída. A ausência de controle durante a execução de várias fases de uma análise com elementos finitos era outro problema, bem como uma visualização do que estava sendo executado pelo computador. Hoje a tendência é desenvolver softwares com facilidades na geração de modelos, interação do programa com o usuário e capacidade de visualização gráfica.

1.2 Objetivos desta Dissertação

Esta dissertação tem por objetivo desenvolver subrotinas computacionais (bibliotecas) relacionadas às funções de forma de diferentes elementos finitos, tais como:

- Elemento Triangular 2D (linear, quadrático e cúbico);
- Elemento Quadrilátero 2D (bilinear, quadrático e cúbico);
- Elemento Tetraédrico 3D (linear, quadrático e cúbico);
- Elemento Hexaédrico 3D (trilinear, quadrático e cúbico),

possibilitando assim, uma padronização na estrutura de formação das mesmas, tornando-as mais objetivas, de fácil entendimento, e mais simples de serem utilizadas pelo pessoal envolvido em programação nos pacotes computacionais desenvolvidos no GRUCAD - Grupo de Concepção e Análise de Dispositivos Eletromagnéticos. Juntamente com as subrotinas das funções de forma, também serão desenvolvidas subrotinas com os pontos de integração de cada elemento citado acima, tornando as integrações numéricas de mais fácil acesso.

No transcorrer dos capítulos serão abordados os conceitos necessários para construção das funções de forma para cada um dos elementos citados acima, e na sequência a biblioteca é implementada.

1.3 Organização dos Capítulos desta Dissertação

Esta dissertação está dividida em sete capítulos.

CAPÍTULO 1

Introdução ao método de elementos através de uma abordagem de sua evolução, objetivos e organização da dissertação.

CAPÍTULO 2

Aplicação do Método dos Resíduos Ponderados na construção de integrais.

CAPÍTULO 3

Aplicação de formulação matricial em sistemas de equações algébricas e as fases do processo de condensação para formação do sistema global de equações.

CAPÍTULO 4

Métodos numéricos para construção e solução de sistemas lineares de equações algébricas.

CAPÍTULO 5

Introdução do elemento de referência e das funções de interpolação para elementos em duas e três dimensões.

CAPÍTULO 6

Apresentação geral da biblioteca, com a declaração das variáveis e nomenclatura para todos os elementos, e estrutura das subrotinas.

CAPÍTULO 7

Conclusões finais sobre as bibliotecas e proposta para trabalhos futuros.

Capítulo 2 – FORMULAÇÃO DE INTEGRAIS PARA SISTEMAS FÍSICOS

2.1 - Introdução

Neste capítulo, serão estudadas formulações integrais de problemas físicos que envolvem sistemas de equações algébricas lineares depois da discretização. O método de elementos finitos é um dos procedimentos de discretização que podem ser utilizados para gerar o sistema de equações algébricas.

2.2 - Classificação dos Problemas Físicos

2.2.1 - Sistemas Contínuos e Discretos

Qualquer sistema pode ser caracterizado por uma série de variáveis que são funções de coordenadas espaciais x = (x, y, z) e do tempo t. O sistema é chamado estacionário se nenhuma de suas variáveis forem dependentes do tempo.

Ao aplicarmos as leis físicas a um sistema que possue um certo número de variáveis conhecidas \mathbf{d} e outras desconhecidas \mathbf{c} , teremos um modelo matemático que irá relacionar \mathbf{c} e \mathbf{d} . Estas relações formam um sistema de equações em \mathbf{c} para serem resolvidas.

Um sistema discreto é descrito por uma série de equações algébricas. Um sistema contínuo é governado por uma série de equações diferenciais, equações diferenciais parciais e/ou equações íntegro-diferenciais, acompanhada pelas apropriadas condições de contorno espaciais e temporais.

Sistemas algébricos podem ser resolvidos diretamente por métodos numéricos. Por outro lado, sistemas contínuos primeiro são discretizados, isto é, substituídos por sistemas aproximadamente equivalentes às equações algébricas.

2.2.2 - Problemas de Equilíbrio

Para tais problemas, que também são conhecidos como valores de fronteira, devemos descobrir os valores desconhecidos c em um sistema em regime permanente. Para um sistema discreto, as equações governantes podem ser escritas na seguinte forma matricial:

$$[K]{c} = {F}$$
 (2.1a)

onde [K] é uma matriz de coeficientes caracterizando o sistema, $\{c\}$ são as variáveis desconhecidas, e $\{F\}$ são as forças aplicadas (condições de contorno impostas).

Sistemas contínuos, por outro lado, são caracterizados por equações diferenciais parciais:

$$L(c) + f_V = 0$$
 em um domínio V
 $C(c) = f_S$ sobre a fronteira S de V (2.1b)

Onde L e C são operadores diferenciais caracterizando o sistema, c são as funções desconhecidas, e f_V e f_S são funções dadas(vetores força).

2.3 - Método dos Resíduos Ponderados

2.3.1 – Resíduos

Considere um sistema físico contínuo tendendo ao seguinte sistema de equações diferenciais parciais de ordem m (linear):

$$L(c) + f_V = 0$$
 em um domínio V (2.2a)

As condições de contorno são:

$$C(c) = f_S$$
 sobre a fronteira S (2.2b)

As variáveis c são funções das coordenadas geométricas x. As soluções são funções c, satisfazendo ambas (2.2a) e (2.2b).

A função resíduo é definida como:

$$\mathbf{R}(c) = L(c) + f_V \tag{2.3}$$

A função resíduo desaparece quando c for uma solução de (2.2).

2.3.2 - Na Forma de Integrais

O Método de Resíduos Ponderados consiste em descobrir as funções c que satisfazem a seguinte equação integral:

$$W(c) = \int_{V} \langle \psi \rangle \{R(c)\} dV = \int_{V} \langle \psi \rangle \{L(c) + f_{V}\} dV = 0$$
 (2.4)

para qualquer função ponderada ψ .

Qualquer solução c satisfazendo (2.2a) e (2.2b), também satisfaz (2.4), não importando qual seja a função ponderada. Embora, uma solução de (2.4) dependa da escolha da função ponderada.

2.4 - Transformações das Integrais

2.4.1 - Integração por Partes

A integração por partes é usada em expressões como (2.4) para reduzir a ordem de derivadas elevadas contidas no integrando.

(a) Duas Dimensões:

$$\int_{A} \psi \frac{\partial c}{\partial x} dx dy = -\int_{A} \frac{\partial \psi}{\partial x} c dx dy + \oint_{S} \psi c dy = -\int_{A} \frac{\partial \psi}{\partial x} c dx dy + \oint_{S} \psi L dS$$
 (2.5a)

$$\int_{A} \psi \frac{\partial c}{\partial y} dx dy = -\int_{A} \frac{\partial \psi}{\partial y} c dx dy - \oint_{S} \psi c dx = \int_{A} \frac{\partial \psi}{\partial y} c dx dy + \oint_{S} \psi c m dS$$
 (2.5b)

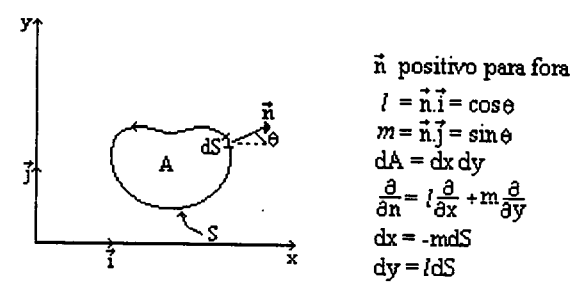


Figura 2.1 - Integração por partes em Duas Dimensões

(c) Três Dimensões:

$$\int_{A} \psi \frac{\partial c}{\partial x} dx dy dz = -\int_{V} \frac{\partial \psi}{\partial x} c dx dy dz + \oint_{S} \psi c l dS$$
 (2.6)

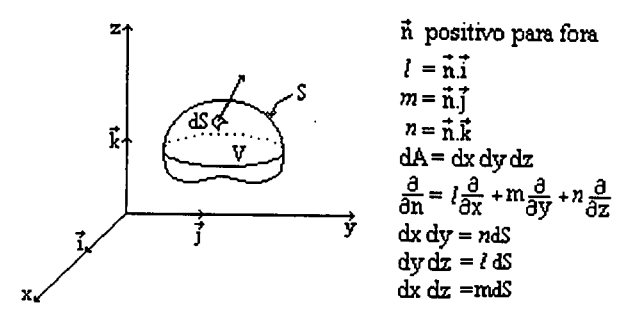


Figura 2.2 - Integração por partes em Três Dimensões

2.4.2 - Forma Fraca da Integral

Uma dada forma integral pode ser transformada para obter, uma então chamada forma fraca, através da integração por partes. Se necessário, podem ser realizadas sucessivas integrações por partes, até que se obtenha a integral desejada. Tais expressões são pretendidas pelas seguintes razões:

- a ordem da derivada superior de c é reduzida; isto então relaxa a condição de continuidade requerida para convergência;
- algumas condições de contorno aparecem na integral fraca, não satisfazendo identicamente c.

Por outro lado, a integração por partes introduz derivadas na função ponderada ψ . As condições de continuidade sobre ψ são então mais difíceis do que antes de tais operações.

2.5 - Discretização de Formas Integrais

2.5.1 – Discretização da Função W

Nos parágrafos 2.3 e 2.4, mostrou-se que a solução direta da equação diferencial (2.2) pode ser substituída pela procura de uma função c que anule a forma integral(2.4):

$$W = -\int_{V} \left(\frac{\partial \psi}{\partial x} \frac{\partial c}{\partial x} + \frac{\partial \psi}{\partial y} \frac{\partial c}{\partial y} - \psi f_{V} \right) dV + \int_{S_{f}} \psi(f_{S} - \alpha c) dS = 0$$
 (2.7)

para qualquer função ponderada ψ .

Para obter uma solução aproximada c, deve-se transportar (2.4) através da discretização, para dentro de expressões algébricas que possam ser resolvidas para variáveis desconhecidas. Isto deve ser feito em dois passos:

- funções desconhecidas c são aproximadas pela representação de um parâmetro n. Os parâmetros aproximados podem ser valores nodais de c ou não; eles podem estar sobre todo o domínio ou restritos a um sub-domínio. O método de elementos finitos utiliza aproximações nodais sobre o sub-domínio. Em todos os casos c pode ser escrito como:

$$c = c(a_1, a_2, ..., a_n)$$
 (2.8)

A expressão (2.7) será:

$$W = \int_{V} \psi(L(c(a_{1}, a_{2}, ..., a_{n}) + f_{V}))dV = 0$$
(2.9)

para qualquer ψ .

- n funções ponderadas independentes $\psi_1, \psi_2, ..., \psi_n$ são escolhidas arbitrariamente, mas o número n pode ser o mesmo que o número de parâmetros escolhidos para c (2.8). A escolha das funções ponderadas tendem a uma enorme variedade de métodos, os mais populares são: o método de Galerkin, dos Mínimos Quadrados, etc. A equação (2.9) pode ser escrita como:

$$W_{1} = \int_{V} \psi_{1} \left(L(c(a_{1}, a_{2}, ..., a_{n}) + f_{v}) \right) dV = 0$$

$$W_{2} = \int_{V} \psi_{2} \left(L(c(a_{1}, a_{2}, ..., a_{n}) + f_{v}) \right) dV = 0$$
.....
$$W_{n} = \int_{V} \psi_{n} \left(L(c(a_{1}, a_{2}, ..., a_{n}) + f_{v}) \right) dV = 0$$
(2.10)

Depois da integração de (2.10), um sistema de equações algébricas para determinação dos parâmetros a_i na aproximação de c pode ser escrito como:

$$[K]\{a\}=\{F\}$$
 (2.11)

2.5.2 – Escolha das Funções Ponderadas ψ

Aqui será apresentado um método para escolha da função ponderada ψ . No restante desta dissertação, serão aplicadas apenas as aproximações com elementos finitos acopladas com as funções ponderadas do tipo Galerkin, para obter as soluções desejadas.

2.5.2.1 - Método de Galerkin

As funções ponderadas são idênticas as funções de base c. Assim, frequentemente ψ será representada por uma série de variações δu da aproximação c com relação a $\{a\}$.

$$\psi = \delta c = \langle P \rangle \{\delta a\}$$
 para todos $\{\delta a\}$ (2.12)

onde $\{\delta a\}$ são as primeiras variações de $\{a\}$.

A equação (2.10) torna-se:

$$W = \int_{V} \delta c (L(c) + f_{V}) dV = 0$$
 (2.13)

$$W = \langle \delta a \rangle \int_{V} \{P\} \left(L(\langle P \rangle \{a\}) + f_{V} \right) dV = 0$$
 (2.14)

Uma vez que W pode desaparecer para qualquer valor de $\{\delta a\}$, a próxima expressão é equivalente ao seguinte sistema de equações algébricas:

$$W_{1}(a) = \int_{V} P_{1}(L(\langle P \rangle \{a\}) + f_{V})dV = 0$$
.....
$$W_{n}(a) = \int_{V} P_{n}(L(\langle P \rangle \{a\}) + f_{V})dV = 0$$
(2.15)

Capítulo 3 - FORMULAÇÃO MATRICIAL DO MÉTODO DE ELEMENTOS FINITOS

3.1 - Introdução

Neste capítulo serão descritos os estágios necessários para as análises com elementos finitos. Álgebra matricial será usada para escrever as equações fundamentais, devido ao fato destas expressões serem facilmente transformadas em códigos computacionais.

Primeiramente, o método de elementos finitos será definido como um processo de discretização das formas integrais de Galerkin; que consiste em substituir a forma integral global W pelas formas integrais do elemento W^e. Então, cada forma integral é discretizada usando aproximações com elementos finitos. Isto permite que matrizes elementares possam ser condensadas numa matriz global.

Algumas técnicas de condensação que permitem sobrepor as matrizes elementares dentro das matrizes do sistema global serão descritas neste capítulo. Finalmente, será indicado um método para introduzir as condições de contorno dentro do sistema de equações.

3.2 – Definição do Método de Elementos Finitos

Este método consiste na discretização da forma integral W (parágrafo 2.5) usando uma aproximação por elementos finitos para as variáveis desconhecidas c e resolvendo, o sistema resultará em equações algébricas. Os vários estágios do processo de solução serão brevemente descritos neste parágrafo.

A partir da forma integral de Galerkin(parágrafo 2.5.2.1), em que as funções ponderadas são dadas por $\psi \equiv \delta c$:

$$W = \int_{V} \delta c \left(L(c) + f_{V} \right) dV = 0$$
 (3.1)

A integral sobre todo o domínio é substituída por integrais de um sub-domínio(ou domínio de elementos):

$$W = \sum_{e=1}^{n_{e1}} W^{e} = \sum_{e=1}^{n_{e1}} \int_{V} \delta c^{e} (L(c) + f_{V}) dV = 0$$
 (3.2a)

Para cada termo W^e (chamado forma integral elementar) $c \in \delta c$ são substituídos por uma aproximação de elementos finitos limitados pelo domínio do elemento V^e :

$$c^{e} = \langle N \rangle \{c_{n}\}$$

$$\delta c^{e} = \langle N \rangle \{\delta c_{n}\}$$
(3.2b)

Uma vez que $\langle N \rangle$ é definido nulo fora da região V^e e depende somente dos valores nodais $\langle c_n \rangle$ pertencentes a V^e , todo o processo computacional é confinado ao domínio do elemento. É esta repetição natural das matrizes elementares que contribui para o sucesso do método. Usando-se (3.2b), W^e torna-se:

$$W^{e} = \int_{V} e \, \delta c^{e} \left(L(c^{e}) + f_{V} \right) dV$$

$$W^{e} = \langle \delta c_{n} \rangle \left(\int_{V} e \left\{ N \right\} L(\langle N \rangle) dV \{c_{n}\} + \int_{V} e \left\{ N \right\} f_{V} dV \right)$$
(3.2c)

Integração por partes é frequentemente usada na equação (3.1) para reduzir a ordem das derivadas superiores contidas na expressão (ver parágrafo 2.4). A forma integral, pode então conter derivadas δc de algumas integrais de contorno suplementares. A formas integrais elementares W^e são então escritas na notação matricial como:

$$W^{e} = \int_{V} e \left(\left\langle \delta(\partial c^{e}) \right\rangle [D] \{ \partial c^{e} \} - \partial c^{e}. f_{V} \right) dV - \int_{S_{f}^{e}} dc^{e}. f_{S} dS$$

$$onde: \qquad \langle \partial c^{e} \rangle = \left\langle c^{e} \frac{\partial c^{e}}{\partial x} \cdots \frac{\partial^{2} c^{e}}{\partial x^{2}} \right\rangle$$

$$\langle \delta(\partial c^{e}) \rangle = \left\langle \delta c^{e} \delta(\frac{\partial c^{e}}{\partial x}) \cdots \delta(\frac{\partial^{2} c^{e}}{\partial x^{2}}) \cdots \right\rangle$$

$$(3.3)$$

- [D] é a matriz que é independente de c^{e} e de suas derivadas, para operadores lineares L;
- $-f_V$ e f_S são as regiões do corpo e da superfície;
- V^e é o volume do elemento;
- S_f^e é a parte da fronteira sobre V^e , em que a integração por partes atribui formas integrais de contorno adicionais.

Finalmente, usando-se as expressões (3.2b) de c^e e δc^e , bem como expressões similares de ∂c^e e $\delta(\partial c^e)$ em (3.3), obtêm-se a seguinte expressão matricial para a forma integral elementar W^e discretizada:

$$W^{e} = \langle \delta c_{n} \rangle ([k] \{ c_{n} \} - \{ f \})$$
(3.4)

onde [k] é a matriz com os elementos, e é independente de c_n se L for linear; $\{f\}$ consiste num arranjo de elementos vetoriais; $\{c_n\}$ são os valores nodais dos elementos vetoriais; $\{c_n\}$ são os valores nodais dos elementos.

A forma integral (3.2a) é construída pelo processo de acoplamento das formas integrais do elemento(3.4):

$$W = \sum_{e} W^{e} = \sum_{e} \langle \delta c_{n} \rangle ([k] \{c_{n}\} - \{f\}) = 0$$
 (3.5a)

O resultado do processo de acoplamento é a seguinte forma matricial global total:

$$W = \langle \delta C_n \rangle ([K] \{ C_n \} - \{ F \}) = 0$$
(3.5b)

onde [K] é o sistema matricial global; $\{F\}$ é o arranjo vetorial global do lado direito; $\{C_n\}$ é o vetor global de todos os valores nodais das funções desconhecidas; e $\{\delta c_n\}$ é a variação arbitrária de C_n .

O processo de acoplamento para passar de (3.5a) para (3.5b) é chamado de condensação, e será discutido mais adiante.

Uma vez que (3.5b) é nulo para variações arbitrárias $<\delta C_n>$, tem-se:

$$[K]\{C_n\} = \{F\}$$
 (3.5c)

A função resíduo do elemento é definida por:

$$\{r\} = \{f\} - [k] \{c_n\}$$
 (3.6a)

A função residual global obtida depois do processo de condensação é:

$$\{R\} = \sum_{e} \{r\} = \{F\} - [K]\{C_n\}$$
 (3.6b)

Estes últimos resíduos desaparecem, quando $\{C_n\}$ torna-se a solução exata de (3.5c).

3.3 - Forma Integral Discretizada We

3.3.1 – Expressão Matricial para We

Para obter a forma discretizada (3.4) de W^e , serão utilizadas aproximações por elementos finitos para c, δc , e suas derivadas no domínio do elemento e.

Então:

$$c = \langle N \rangle \{c_n\}$$

$$\frac{\partial c}{\partial x} = \left\langle \frac{\partial N}{\partial x} \right\rangle \{c_n\}$$
.....
$$\delta c = \langle N \rangle \{\delta c_n\}$$

$$\delta \left(\frac{\partial c}{\partial x}\right) = \left\langle \frac{\partial N}{\partial x} \right\rangle \{\delta c_n\}$$
(3.7a)

Então:

$$\{\partial c\} = \begin{cases} \frac{c}{\partial c} \\ \frac{\partial c}{\partial x} \end{cases} = \begin{bmatrix} \langle N \rangle \\ \frac{\partial N}{\partial x} \rangle \end{bmatrix} \{c_n\} = [B]\{c_n\}$$

$$\{\delta(\partial c)\} = \begin{cases} \delta c \\ \delta(\frac{\partial c}{\partial x}) \\ \vdots \end{cases} = \begin{bmatrix} \langle N \rangle \\ \frac{\partial N}{\partial x} \rangle \end{bmatrix} \{\delta c_n\} = [B_{\delta}]\{\delta c_n\}$$

$$\vdots$$

$$(3.7b)$$

Para os operadores auto-adjuntos L:

$$\{\delta(\partial c)\} \equiv \delta(\{\partial c\}); \quad [B_{\delta}] \equiv [B]$$

Substituindo-se (3.7a) e (3.7b) em (3.3), obtêm-se:

$$W^{e} = <\delta c_{n} > \left(\int_{V} e \left[B_{\delta} \right]^{T} [D] [B] dV \{ c_{n} \} = \int_{V} e \{ N \} f_{V} dV - \int_{S_{f}^{e}} \{ N \} f_{S} dS \right) (3.8a)$$

Assim, comparando com (3.4):

$$[k] = \int_{V} e [B_{\delta}]^{T} [D] [B] dV$$
 (3.8b)

$$\{f\} = \int_{V} e\{N\} f_{V} dV + \int_{S} e\{N\} f_{S} dS$$
 (3.8c)

3.3.2 – Forma Integral $W^{\rm e}$ no Espaço do Elemento de Referência

Neste capítulo, as expressões (3.3) e (3.8) de W^e contêm:

- derivadas de c e δc em relação a x;
- variáveis nodais c_n e δc_n , que podem incluir derivadas de c e δc , em relação a x para os nós;
 - integrações no espaço do elemento real V^e .

Todas as derivadas e integrações no espaço x podem ser transformadas no espaço u.

3.3.2.1 – Transformação das derivadas com relação a x

As derivadas $c_{,x}$, $c_{,y}$, $c_{,z}$, são transformadas em $c_{,u}$, $c_{,v}$, $c_{,p}$, com a ajuda da uma matriz Jacobiana de transformação geométrica. Por exemplo, em uma dimensão tem-se:

$$c(u) = \langle N(u) \rangle \{c_n\}$$

$$\frac{dc}{dx} = \frac{du}{dx} \frac{dc}{du} = \frac{du}{dx} \left\langle \frac{dN(u)}{du} \right\rangle \{c_n\}$$

Na expressão (3.7b), a matriz [B] é reescrita como:

$$[B] = [Q][B_u] \tag{3.9}$$

onde [Q] é uma matriz que contêm certos termos de $[j] = [J]^{-1}$; $[B_u]$ é uma matriz similar a [B], que contêm derivadas das funções N(u) em termos de u em vez das derivadas da funções N(x) com relação a x.

3.3.2.2 - Transformação do domínio de integração

A integração sobre o volume do elemento real V^e é substituída por uma integração sobre o volume do elemento de referência V^r :

$$\int_{V} e \dots dV = \int_{V} r \dots \det(J) du dv dp$$
 (3.10)

Os limites de integração para todos os elementos clássicos de referência descritos anteriormente são:

- Duas dimensões:

Triângulo
$$\int_{u=0}^{u=1} \int_{v=0}^{v=1-u} ... \det(J) dv du$$
Quadrilátero
$$\int_{u=-1}^{u=1} \int_{v=-1}^{v=1} ... \det(J) dv du$$

- Três dimensões:

$$Tetra\'{e}dro \qquad \int_{u=0}^{u=1} \int_{v=0}^{v=1-u} \int_{p=0}^{p=1-u-v} ... \det(J) dp dv du \\ Hexa\'{e}dro \qquad \int_{u=0}^{u=1} \int_{v=0}^{v=1-u} \int_{p=-1}^{p=1} ... \det(J) dp dv du$$

3.3.2.3 - Transformação das integrais de contorno

(a) Integração linear em duas ou três dimensões.

Integral

$$l = \int_{S} ...dS$$

é escrita em termos da abscissa curvilínea s sobre a curva S

$$l = \int_{S_1}^{S_2} ... J_S dS \tag{3.11a}$$

Em geral, a abscissa s é uma das variáveis u, v ou p. A curva S, geralmente corresponde a uma das arestas do elemento de referência, em que o parâmetro s é definido:

$$x = \langle N(s) \rangle \{x_n\}, etc...$$

 $J_S = \sqrt{x_{,S}^2 + y_{,S}^2 + z_{,S}^2}$ (3.11b)

(b) Integração superficial em três dimensões.

Integral

$$\int_{S} ...dS$$

é escrita em termos da coordenadas superficiais s_1 e s_2 , que são geralmente, (u,v) ou (u,p) ou (v,p).

$$\int_{S} ... J_{S} ds_1 ds_2 \tag{3.12a}$$

A superfície S é uma das faces do elemento de referência. Nesta face, um ponto é dado em termos de dois parâmetros s_1 e s_2 :

$$x = \langle N(s_1, s_2) \rangle \{x_n\} \ etc.$$

$$J_S = \sqrt{(y_{,s_1} z_{,s_2} - z_{,s_1} y_{,s_2})^2 + (z_{,s_1} x_{,s_2} - x_{,s_1} z_{,s_2})^2 + (x_{,s_1} y_{,s_2} - y_{,s_1} x_{,s_2})^2}$$
(3.12b)

3.3.2.4 – Expressões de [k] e $\{f\}$ no espaço do elemento de referência

As expressões (3.8b) e (3.8c), da matriz [k] e do vetor $\{f\}$, transformadas no espaço de referência V^r , são:

$$[k] = \int_{V} r \left[B_{\delta u} \right]^{T} [Q_{\delta}]^{T} [D] [Q] [B_{u}] \det(J) du dv dp \tag{3.13a}$$

$$\{f\} = \int_{V} r\{N\} f_{V} \det(J) du dv dp + \int_{S} r\{N\} f_{S} J_{S} ds_{1} ds_{2}$$
 (3.13b)

onde, [Q] e $[B_u]$ são definidos por (3.9); onde, $[Q_{\delta}]$ e $[B_{\delta u}]$ são análogos a [Q] e $[B_u]$, exceto pelos operadores não-adjuntos; e J_S é definido (3.11b) ou (3.12b).

As integrais (3.13a) e (3.13b) são geralmente calculadas numericamente, usando os métodos descritos no parágrafo 4.1.

3.4 – Condensação da Forma Discretizada Global W

As operações necessárias para construir o sistema matricial global [K] e o arranjo vetorial $\{F\}$, iniciam pelas matrizes elementares [k] e $\{f\}$.

3.4.1 - Condensação pela Expansão das Matrizes Elementares

Cada forma integral elementar W^e fornece, depois de discretizado:

$$W^{e} = <\delta c_{n} > ([k]\{\ c_{n}\ \} - \{\ f\ \})$$

Os vetores $\langle \delta c_n \rangle$ e $\{c_n\}$ são diferentes para cada elemento. Os vetores $\{\delta C_n\}$ e $\{C_n\}$ sendo vetores globais, contêm valores de todos os nós do domínio completo V, apresentados em (3.5b). Os vetores elementares $\langle \delta c_n \rangle$ e $\{c_n\}$ estão, assim, contidos nos vetores globais.

Variáveis Globais:
$$\langle \delta C_n \rangle = \langle \delta c_1 \dots \delta c_i \dots \delta c_j \dots \delta c_k \dots \delta c_n \rangle$$

Variáveis Elementares: $\langle \delta c_n \rangle = \langle \delta c_i \quad \delta c_j \quad \delta c_k \rangle$ onde: δc_i , δc_j , δc_k , são as variáveis nodais do elemento.

A forma discretizada W é a soma das formas discretizadas elementares W^{e} (3.5a). Esta operação é chamada processo de condensação:

$$W = \sum_{elementos} W^{e}$$

$$W = \sum_{elementos} \langle \delta c_{n} \rangle ([k] \{c_{n}\} - \{f\})$$

Inicialmente, esta última expressão será colocada na seguinte forma:

$$W = \langle \delta C_n \rangle ([K] \{ C_n \} - \{ F \})$$

Para que este objetivo seja alcançado, as formas elementares podem ser reescritas em termos de $\{C_n\}$ e $<\delta C_n>$:

$$W^{e} = \langle \delta C_{n} \rangle ([K^{e}] \{ C_{n} \} - \{ F^{e} \})$$
 (3.14)

A matriz $[K^e]$ é construída pela expansão da matriz [k], e possui a mesma dimensão de [K]; similarmente, $\{F^e\}$ é construído pela expansão de $\{f\}$, e possui a mesma dimensão de [F].

(a) Expansão de [k] (ver parágrafo 4.4.1 da referência [1])

$$W^{e} = \langle \delta C_{n} \rangle \begin{bmatrix} 0 & ... & 0 & ... & 0 \\ ... & ... & ... & ... & ... \\ 0 & ... & k_{11} & ... & k_{12} & ... & 0 \\ ... & ... & ... & ... & ... \\ 0 & ... & 0 & ... & 0 & ... & 0 \\ ... & ... & ... & ... & ... \\ 0 & ... & k_{21} & ... & k_{22} & ... & 0 \\ ... & ... & ... & ... & ... \\ 0 & ... & 0 & ... & 0 & ... & 0 \end{bmatrix}$$

$$\uparrow \qquad \uparrow \qquad (n \times n)$$

$$coluna i \quad coluna j$$

$$(3.14)$$

(b) Expansão de {f} (ver parágrafo 4.4.1 da referência [1])

$$W^{e} = <\delta C_{n} > \begin{cases} 0\\0\\0\\f_{1}\\0\\f_{2}\\0\\\vdots\\0 \end{cases} = <\delta C_{n} > \{F^{e}\}$$

$$(3.15)$$
Egral global W é obtida pela sumarização da expressão (3.14) :

A forma integral global Wé obtida pela sumarização da expressão (3.14):

$$W = \sum_{e} W^{e} = \sum_{e} \langle \delta C_{n} \rangle \left([K^{e}] \{ C_{n} \} - \{ F^{e} \} \right)$$

$$= \langle \delta C_{n} \rangle \left(\left[\sum_{e} [K^{e}] \right] \{ C_{n} \} - \left\{ \sum_{e} \{ F^{e} \} \right\} \right)$$

$$= \langle \delta C_{n} \rangle \left([K] \{ C_{n} \} - \{ F \} \right)$$
(3.16a)

onde:

$$[K] = \sum_{e} [K^{e}]$$

$$\{F\} = \sum_{e} \{F^{e}\}$$

$$(3.16b)$$

A matriz global [K] é então a soma das matrizes elementares expandidas $[K^e]$; o mesmo ocorre com $\{F\}$ e $\{F^e\}$.

3.4.2 - Fases do Processo de Condensação

- Construção das matrizes $[K^e]$ e $\{F^e\}$ para cada elemento, usando (3.14) e (3.15);
 - Adição das matrizes expandidas (3.16).

Estes dois passos são executados simultaneamente para avaliar as construções explícitas de $[K^e]$ e $\{F^e\}$.

3.5 - Sistema Global de Equações

3.5.1 - Formulação do Sistema de Equações

Depois da condensação, a forma integral global discretizada (3.5b) é:

$$W = \langle \delta C_n \rangle ([K] \{ C_n \} - \{ F \}) = 0$$
(3.17)

O problema consiste em descobrir $\{C_n\}$ que faça W desaparecer não importando qual $<\delta C_n>$, sempre que satisfaça as condições de contorno sobre $S_c: c=c_S$ e $\delta c=0$. Depois de discretizado, estas condições são:

$$\delta C_{\rm i} = 0 \tag{3.18a}$$

$$C_{i} = C^*_{i} \tag{3.18b}$$

para todos os graus de liberdade C_i possuindo um valor específico de C*_i.

Em resumo, o sistema algébrico:

$$[K]\{C_n\} = \{F\} \tag{3.19}$$

pode ser resolvido por $\{C_n\}$ depois de algumas modificações necessárias para satisfazer as condições (3.18).

3.5.2 - Introdução das Condições de Contorno

As condições (3.18) podem ser introduzidas no sistema (3.19) por diferentes métodos, um dos mais utilizados consiste em:

(a) Usar um número grande sobre os termos diagonais

A matriz [K] é condensada sem dar atenção as condições de contorno; então, cada valor específico de $C_i = C^*_i$ é introduzida como segue:

- o termo K_{ii} é substituído por K_{ii} + α , onde α é um número muito grande com relação a todos os outros termos de K_{ij} ; se α for grande o bastante, K_{ii} + $\alpha \approx \alpha$;
- todos os termos do lado direito são substituídos pelos seus valores originais diminuídos de $F_{\rm j}-K_{\rm ji}C^*_{\rm i}=F^*_{\rm j}$; o lado direito da equação i é $K_{\rm ji}C^*_{\rm i}$.

Este método é muito simples de codificar e oferece, depois de solucionado, todas as variáveis desconhecidas sem perdas na precisão. A matriz de coeficientes K_{ii} se mantêm simétrica, uma vez que somente o termo diagonal é modificado.

Capítulo 4 - PROCEDIMENTO NUMÉRICO

4.1 - Introdução

Neste capítulo serão estudados os procedimentos numéricos mais utilizados na construção de códigos computacionais, para formação das matrizes elementares, e para resolução de sistemas de equações.

4.2 - Integração Numérica

4.2.1 - Introdução

No método de elementos finitos, as matrizes elementares [k] e arranjos vetoriais $\{f\}$, são expressos como integrais sobre linhas, áreas e volumes (3.8b),(3.8c), definidas pela geometria do elemento real V^e :

$$[k] = \int_{V} e [B_{\delta}][D][B]dV$$

$$\{f\} = \int_{V} e \{N\} f_{V} dV + \int_{S} f^{*} \{N\} f_{S} dS$$
(4.1a)

No espaço do elemento de referência, estas integrais torna-se (3.13a),(3.13b):

$$[k] = \int_{V} r [B_{\delta}(u)]^{T} [D(u)] [B(u)] \det(J(u)) dV^{r}$$

$$\{f\} = \int_{V} r \{N(u)\} f_{V} \det(J(u)) dV^{r} + \int_{S} \int_{f}^{r} \{N(u_{S})\} f_{S} dS$$
(4.1b)

Onde:

 $V^{\rm r}$ é o volume do elemento de referência;

 S_f^r é a parte do contorno do elemento de referência sobre a qual f_S é especificada;

 u_S representam as coordenadas de u sobre S_f^r ;

 $dS = J_S dS_1 dS_2$ (ver parágrafo 3.3.2.3)

[J] é a matriz Jacobiana da transformação geométrica ou mais compactadamente:

$$[k] = \int_{V} r \left[k^{*}\right] dV^{r}$$

$$\{f\} = \int_{V} r \left\{f_{V}^{*}\right\} dV^{r} + \int_{S_{f}^{r}} \{f_{S}^{*}\} dS$$
(4.2)

onde:

$$[k^*] = [B_{\delta}(u)]^{T}[D(u)][B(u)]\det(J(u));$$

$$\{f^*_{V}\} = \{N(u)\}f_{V}\det(J));$$

$$\{f^*_{S}\} = \{N(u_{S})\}f_{S}.$$

Os termos $[k^*]$, $\{f^*_V\}$ e $\{f^*_S\}$, são polinômios ou frações razoavelmente complicadas. Abaixo, uma lista com algumas das mais usuais fórmulas de monômios:

- Duas dimensões:
 - Elemento de Referência Quadrilátero

$$\int_{-1}^{1} \int_{-1}^{1} u^{i} v^{j} du dv = \begin{cases} 0 & \text{se i ou j for impar} \\ \frac{4}{(i+1)(j+1)} & \text{se i e j for par} \end{cases}$$
(4.3a)

• Elemento de Referência Triangular

$$\int_0^1 \int_0^{1-u} u^i v^j dv du = \frac{i! \, j!}{(i+j+2)!} \tag{4.3b}$$

- Três Dimensões:
 - Elemento de Referência Hexaédrico

$$\int_{-1}^{1} \int_{-1}^{1} \int_{-1}^{1} u^{i} v^{j} p^{k} du dv dp = \begin{cases} 0 & \text{se } i, j \text{ ou } k \text{ for impar} \\ \frac{8}{(i+1)(j+1)(k+1)} & \text{se } i, j \text{ e } k \text{ for par} \end{cases}$$
(4.3c)

• Elemento de Referência Tetraédrico

$$\int_0^1 \int_0^{1-u} \int_0^{1-u-v} u^i v^j p^k dp dv du = \frac{i! \, j! \, k!}{(i+j+k+3)!}$$
 (4.3d)

Para os casos onde a integração numérica não é possível, aplicam-se fórmulas de integração numérica que possuem a seguinte forma genérica:

$$[k] = \sum_{i=1}^{r} w_i [k * (u_i)]$$

$$\{f\} = \sum_{i=1}^{r} w_i \{f_V^*(u_i)\}$$
(4.4)

Onde u_i são as coordenadas dos r pontos de integração; w_i são os coeficientes ponderados (pesos) correspondentes a cada ponto de integração.

Em geral, (4.4) fornece um valor aproximado das integrais, todavia, para muitas classes de problemas, os erros de integração compensam o erro de discretização geométrica, resultando assim, em melhores resultados globais.

4.2.2 - Integração Numérica em Duas Dimensões

(a) Métodos Bidirecionais

Se houver r_1 pontos na direção u e r_2 pontos na direção v, o método de Gauss, integra o produto de um polinômio $(2r_1-1)$ em u por um polinômio $(2r_2-1)$ em v, exatamente. O método usa $r=r_1$. r_2 pontos; ele integra todos os monômios:

$$u^i v^j$$
, tal que $0 \le i \le 2r_1 - 1$
 $0 \le j \le 2r_2 - 1$

(b) Métodos Diretos

$$\iint_{V} r \ y(u, v) du dv = \sum_{i=1}^{r} w_{i} y(u_{i}, v_{i})$$
 (4.5)

Em particular, é possível construir fórmulas muito similares às fórmulas de Gauss, que irão integrar exatamente todos os monômios de ordem m:

$$u^i v^j$$
, tal que $i+j \le m$

Tais métodos são frequentemente mais efetivos do que os métodos bidirecionais. Para elementos quadriláteros, as fórmulas bidirecionais possuem menos influência geométrica do que os métodos diretos; por outro lado, para os elementos triangulares, os métodos diretos possuem menos influência geométrica do que os métodos bidirecionais.

4.2.2.1 – Elementos Quadriláteros

O método a ser utilizado será o método direto:

$$\int_{-1}^{1} \int_{-1}^{1} y(u, v) du dv \approx \sum_{i=1}^{r} w_{i} y(u_{i}, v_{i})$$

Na figura 4.1 estão os pontos de integração do elemento quadrilátero:

	Ordem m	№ de pontos <i>r</i>	Coordenadas ui vi	Pesos Wi	
•2 1• •3 4•	3	4	$\pm \frac{1}{\sqrt{3}} \qquad \pm \frac{1}{\sqrt{3}}$	1	
2 1	3	4	±√2/3 0 0 ±√2/3	1	
7• 3• •5 1 4• •2 •6	5	7	0 0 -r -r +r +r +s -t -s +t +t -s -t +s	8/7 }100/168 } 20/48	$r = \sqrt{7/15}$ $s = \sqrt{\frac{7 + \sqrt{24}}{15}}$ $t = \sqrt{\frac{7 - \sqrt{24}}{15}}$

Figura 4.1 - Pontos de integração de um quadrilátero

4.2.2.2 – Elementos Triangulares

O método a ser utilizado será o método direto:

$$\int_0^1 \int_0^{1-u} y(u,v) dv du \approx \sum_{i=1}^r w_i y(u_i,v_i)$$

Na figura 4.2 estão os pontos de integração do elemento triangular:

	Ordem m	Nº de pontos <i>r</i>	Coorder ui	nadas vi	Pesos wi	
v u	1	1	<u>1</u> 3	1/3	1/2	
V 3 1	2	3	1/6 2/3 1/6	1/6 1/6 2/3	<u>1</u> 6	
1/1 2 3 U	3	4	1/5 3/5	1/3 1/5 1/5 3/5	-27/96] 25/96	
V	_	_	a 1-2a :	1/3 a 1-2a	9/80 } A	a = b =
b 3 3 1	5	7	ხ 1-2ხ	1-2a b b 1-2b) } B	A =

Figura 4.2 - Pontos de integração de um triângulo

4.2.3 – Integração Numérica em Três Dimensões

4.2.3.1 - Elementos Hexaédricos

O método a ser utilizado será o método direto:

$$\int_{-1}^{1} \int_{-1}^{1} \int_{-1}^{1} y(u, v, p) du dv dp = \sum_{i=1}^{r} w_{i} y(u_{i}, v_{i}, p_{i})$$

Na figura 4.3 estão os pontos de integração do elemento hexaédrico:

Nº de	Coordenadas			Pesos	
pontos r	u_{i}	$\nu_{\rm i}$	$p_{\rm i}$	Wi	
	a	а	а		1
	-a	а	a		
	a	-a	a		
8	a	а	-a	1	a=1
	-a	-a	а		√3
	-a	а	-a		
	a	-a	-a		
	-a	-a	-a		

Figura 4.3 - Pontos de integração de um hexaédro

4.2.3.2 - Elementos Tetraédricos

O método a ser utilizado será o método direto:

$$\int_0^1 \int_0^{1-u} \int_0^{1-u-v} y(u,v,p) dp dv du = \sum_{i=1}^r w_i y(u_i,v_i,p_i)$$

Na figura 4.4 estão os pontos de integração do elemento tetraédrico:

Ordem m	№ de pontos <i>r</i>	$egin{array}{c} C_{001} \ u_{ m i} \end{array}$		adas pi	Pesos Wi	
1	1	1/4	1/4	1/4	1/6	
2	4	a a a b	a a b a	a b a	1/24	$a = \frac{5 - \sqrt{5}}{20}$ $b = \frac{5 + \sqrt{5}}{20}$
5	7	a b b c	a b c b	a b c b	-2/15 3 40	a = 1/4 b = 1/6 c = 1/2

Figura 4.4 - Pontos de integração de um tetraédro

4.2.4 – Escolha do Número de Pontos de Integração

A escolha do número de pontos de integração depende do tipo de elemento utilizado, da matriz particular a ser construída ([k] ou [m]), e da geometria do elemento real. Em geral, uma vez que o número de operações requeridas é igual a Npi^d , onde Npi é o número de pontos de integração e d é um inteiro correspondente ao número de dimensões do elemento, é importante reduzir Npi a pequenos valores aceitáveis. Tem-se comprovado que aproximações obtidos pela redução da integração possibilitam uma melhor precisão dos resultados globais do que integrações exatas sobre certas circunstâncias [2]. Zienkeiwicz [2]

estudou que o número mínimo de pontos de integração é que irá integrar det(J) corretamente. Esta última condição, embora necessária, não é sempre suficiente; os usuários devem estar atentos a possíveis problemas com uma malha contendo um número muito pequeno de elementos. Para cada ponto de integração, uma ou mais equações existem entre as variáveis nodais do elemento. Portanto, o número mínimo de pontos de integração deve sempre permitir que exista um equilíbrio entre o número total de equações estabelecidas através destes pontos e o número total da variáveis desconhecidas após a aplicação das condições de contorno.

4.3 - Solução de Sistemas de Equações Lineares

4.3.1 - Introdução

A solução do sistema:

$$[K] \{C_n\} = \{F\} \tag{4.6}$$

é um passo muito importante na solução do método de elementos finitos. O número n de variáveis desconhecidas C_n é diretamente proporcional ao número de nós e também ao número de graus de liberdade por nós. A precisão e a área de aplicação do método é limitada somente pelo número de equações lineares simultâneas, que podem ser resolvidas pelos computadores atuais.

Os métodos de soluções são geralmente divididos em duas classes:

- (a) métodos diretos, também chamados métodos de eliminação Gaussiana;
- (b) métodos iterativos, o mais popular é o de Gauss-Seidel.

Com o passar dos anos, as técnicas iterativas tornaram-se mais efetivas e simples de se programar do que os métodos de eliminação direta. Contudo, pesquisas realizadas sobre soluções algorítmicas e programação de computadores, resultaram numa escolha quase-unânime do método de eliminação Gaussiana para construção de códigos computacionais, devido a sua boa precisão e velocidade de resolução dos sistemas em geral.

4.3.2 – Eliminação Gaussiana

As variações mais comuns da técnica de Eliminação Gaussiana, dividem-se em dois passos:

(a) Triangularização da matriz de coeficientes (também conhecida como processo de redução) Uma série sistemática de transformações lineares são aplicadas ao sistema de equações a fim de reduzi-los a um sistema triangular (Ver parágrafo 5.2.2.1 da referência [1]):

(b)Substituição anterior

Para um sistema triangular superior (4.7), a última equação contêm somente uma variável desconhecida e é imediatamente resolvida. As equações anteriores possuem duas variáveis desconhecidas, uma das quais já foi calculada. Depois da substituição, descobre-se a variável restante. O processo é repetido sucessivamente para cada linha do sistema, de baixo para cima (Ver parágrafo 5.2.2.2 da referência [1]).

Capítulo 5 - VÁRIOS TIPOS DE ELEMENTOS

5.1 - Introdução

Neste capítulo será introduzido o conceito de elemento de referência, algumas propriedades da função aproximada c(x), a derivada primeira de operadores diferenciais, e após serão apresentadas as funções de interpolação dos elementos mais utilizados na prática.

Das informações contidas nos capítulos anteriores e no transcorrer deste, será possível construir as funções de interpolação $\langle N(u) \rangle$ e suas derivadas com respeito a u, v para os casos em 2D e u, v e p(3D), através das relações:

$$c = \langle N \rangle \{ c_n \}$$

 $\langle N \rangle = \langle P \rangle [P_n]^{-1}$ (5.0)

onde $[P_n]$ é a matriz nodal de interpolação. Para os elementos não-isoparamétricos, as mesmas técnicas são usadas para construir as funções de transformação geométrica $\langle N^* \rangle$; Para os elementos isoparamétricos $\langle N \rangle = \langle N^* \rangle$.

5.2. - Elemento de Referência

Será introduzido a fim de simplificar as expressões analíticas de elementos com formas complexas. Um elemento V' é definido em um espaço abstrato, com uma forma geométrica bem simples. A geometria do elemento de referência é mapeado para dentro da geometria do elemento real, através de expressões de transformação geométrica. Por exemplo, no caso de uma região triangular:

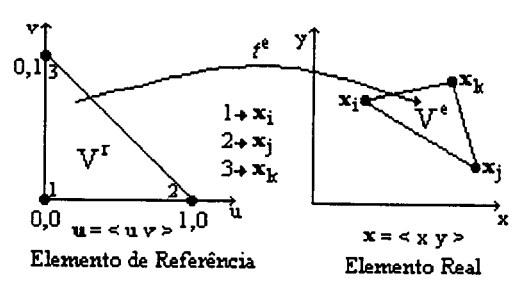


Figura 5.1 - Elemento de referência triangular

As transformações t^e definem as coordenadas de cada ponto do elemento real em termos das coordenadas abstratas u dos correspondentes pontos do elemento de referência.

$$t^e: u \to x^e = x^e(u) \tag{5.1}$$

As transformações t^e dependem da forma e da localização do elemento real. Assim, para cada elemento real existe uma transformação t^e diferente:

$$t^e: u \to x^e = x^e(u, x_i, x_j, x_{k,...})$$
 (5.2)

As transformações t^e devem satisfazer certas regras, por isto para alcançar tais propósitos, cada transformação é escolhida, adotando-se as seguintes propriedades:

- ser mapeado um a um, isto é, para cada ponto do elemento referência V^r , existe um e somente um ponto no elemento real V^e ;
- os nós geométricos do elemento de referência correspondem aos nós geométricos do elemento real;
- cada porção da fronteira de um elemento de referência, definido pelos nós geométricos desta fronteira, correspondem a porção da fronteira de um elemento real, definido pelos nós correspondentes.

Note-se que um elemento de referência projeta dentro de si todos os elementos reais, usando diferentes transformações t^e . Veja no exemplo da figura 5.2:

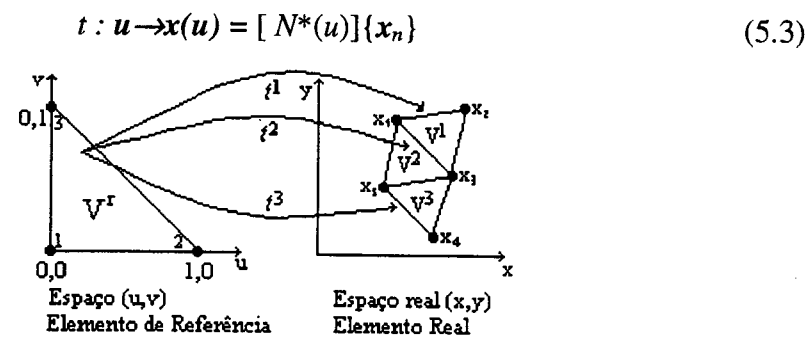


Figura 5.2 - Mapeamento do elemento real dentro do elemento de referência

Elemento 1:
$$t^{1} u \rightarrow x^{1} = x^{1}(u,x_{1}, x_{3}, x_{2})$$

Elemento 2: $t^{2} u \rightarrow x^{2} = x^{2}(u,x_{1}, x_{5}, x_{3})$
Elemento 3: $t^{3} u \rightarrow x^{3} = x^{3}(u,x_{5}, x_{4}, x_{3})$

Além disso, funções de transformação idênticas serão usadas para todas as três coordenadas.

$$x(u) = \langle N^*(u) \rangle \{ x_n \}$$

 $y(u) = \langle N^*(u) \rangle \{ y_n \}$
 $z(u) = \langle N^*(u) \rangle \{ z_n \}$

Para o exemplo anterior:

$$x(u,v) = N_1^*(u,v)x_i + N_2^*(u,v)x_j + N_3^*(u,v)x_k = < N^* > \begin{cases} x_i \\ x_j \\ x_k \end{cases}$$

$$y(u,v) = N_1^*(u,v)y_i + N_2^*(u,v)y_j + N_3^*(u,v)y_k = < N^* > \begin{cases} y_i \\ y_j \\ y_k \end{cases}$$

onde (u,v) pertencem a V'.

As funções N^*_{i} , normalmente escolhidas como polinômios em u, são chamadas "funções de transformação geométrica". Pode-se agora, considerar (5.3) como uma aproximação nodal do sub-domínio para funções x(u) e y(u). As funções N^*_{i} , devem ser escolhidas de tal forma que satisfaçam as propriedades descritas anteriormente.

5.2.1 – Forma Algébrica da Função Aproximada c(x)

Inicialmente, será escolhido uma série de n nós de interpolação de coordenadas x_i no domínio V. Estes nós não precisam coincidir com os nós geométricos. Para cada elemento V^e , será usado uma aproximação nodal para a função exata $c_{ex}(x)$:

$$c_{ex}(x) \approx (x) = \langle N_1(x) \ N_2(x)...N_{n^e}(x) \rangle \begin{cases} c_1 \\ c_2 \\ \vdots \\ c_{n^e} \end{cases} = \langle N(x) \rangle \{c_n\} \quad (5.4)$$

Onde x pertence a V^e . c_1 , c_2 ,..., c_n , são valores de c_{ex} , para os nós de interpolação n^e . N(x) são as funções de interpolação. Agora, troca-se a aproximação sobre o elemento real pela correspondente aproximação sobre o elemento de referência:

$$c_{ex}(\mathbf{u}) \approx c(\mathbf{x}) = \langle N(\mathbf{u}) \rangle \{c_n\}$$
 (5.5)

onde $\{c_n\}$ são as variáveis nodais do elemento, e < N(u) > são as funções de interpolação do elemento de referência.

Em geral, as funções N(x) são usadas somente para os elementos mais simples. As funções N(u), onde x e u estão relacionadas pela transformação t, é definida por (5.3).

Na expressão (5.4), as funções N(x) dependem das coordenadas nodais de cada elemento, logo, são diferentes para cada elemento. Por outro lado, na expressão (5.5), as funções N(u) são independentes da geometria do elemento real V^e . Assim, uma única série de funções N(u), para o mesmo elemento de referência, pode ser usada em todos os elementos.

5.2.2 – Propriedades da Função Aproximada c(x)

(a) Propriedade fundamental da aproximação nodal

Os valores da função aproximada c(x), coincidem com os valores da função exata $c_{ex}(x)$ para todos os nós de interpolação:

$$c_{ex}(x_{i}) = c(x_{i}) = c_{i} = \langle N_{1}(x_{i}) \ N_{2}(x_{i}) \dots \rangle \begin{cases} c_{1} \\ c_{2} \\ \vdots \\ c_{n}e \end{cases}$$

$$N_{j}(x_{i}) = \begin{cases} 0 & \text{se } i \neq j \\ 1 & \text{se } i = j \end{cases}$$
(5.6)

Similarmente, usando a aproximação sobre o elemento de referência:

$$c_{ex}(u_i) = c(u_i) = c_i = \langle N_1(u_i) \ N_2(u_i) \dots \rangle \begin{cases} c_1 \\ c_2 \\ \vdots \\ c_{n^e} \end{cases}$$

$$N_j(u_i) = \begin{cases} 0 & \text{se } i \neq j \\ 1 & \text{se } i = j \end{cases}$$

$$(5.7)$$

(b) Continuidade dentro do elemento

Se a função c(x) é requerida para ser contínua junto com todas as suas derivadas superiores de ordem s, as funções de interpolação $N_i(x)$ de mesma qualidade podem ser usadas.

(c) Funções de interpolação de um polinômio completo

O erro de truncamento: $e(x)=c(x)-c_{ex}(x)$, pode ser reduzido pela diminuição no tamanho dos elementos. Para muitos problemas, também é necessário diminuir o erro sobre as derivadas das funções de aproximação. Para assegurar que o erro $c-c_{ex}$ tenda a zero com a diminuição no tamanho do elemento, é essencial que a aproximação c contenha termos constantes não-nulos, sendo assim, c será capaz de representar exatamente a função constante c_{ex} dentro do elemento. Para assegurar que o erro da derivada também tenda a zero é necessário que exista um termo em c. Assim, se c0 for constante, c0 for constante, c0 for constante. Em geral, se os erros sobre c0 e suas derivadas de ordem superior estiverem diminuindo com o tamanho do elemento, a expressão (5.4) pode conter um polinômio completo de ordem c1. Além disso, se a função c2 e suas derivadas, são contínuas sobre a fronteira comum com os elementos adjacentes, então os erros de truncamento para c0 e suas derivadas tenderão a zero em toda parte do domínio c1, incluindo as fronteiras.

Definições:

- Se somente os valores das funções são contínuos sobre a fronteira, a função é chamada de classe C^0 . Quando a função e suas primeiras derivadas são contínuas, ela é de classe C^1 . Em

O. 291- 985- 4 Biblioteca Universitária UFSC

geral, se a função e todas as suas derivadas superiores de ordem α são contínuas, ela é chamada de classe C^{α} .

- Um elemento será isoparamétrico, se as funções de transformação geométrica $N^*(u)$ forem idênticas as funções de interpolação N(u). Para cada elemento, os nós geométricos são idênticos aos nós de interpolação.
- Um elemento será pseudo-paramétrico, se suas funções $N^*(u)$ e N(u) forem polinômios diferentes construídos com o mesmo monômio.
- Um elemento será sub-paramétrico quando os polinômios geométricos $N^*(u)$ forem de ordem menor que as do polinômio de interpolação N(u). Caso contrário, será superparamétrico.
- O número de variáveis nodais associado com o número total de nós de interpolação de um elemento, é chamado de graus de liberdade (n_d) .

5.3 - Transformação dos Operadores Diferenciais

5.3.1 – Generalidades

As equações governantes de um problema físico são escritas no domínio real, e envolvem funções desconhecidas c_{ex} e suas derivadas: $\partial c_{ex}/\partial x$, $\partial c_{ex}/\partial y$, etc. Visto que a aproximação (5.4) no espaço do elemento real é frequentemente muito complicado, é mais conveniente trabalhar no espaço do elemento de referência (5.5):

$$c_{ex} \approx c(x) = \langle N(u) \rangle \{c_n\}$$
 (5.8)

junto com a transformação (5.3).

$$t: u \to x(u) = [N^*(u)]\{x_n\}$$

$$x = \langle x y z \rangle$$

$$u = \langle u v p \rangle$$
(5.9)

A transformação sendo uma a uma, obtêm-se:

$$t^{-1}: \mathbf{x} \to \mathbf{u} = \mathbf{u}(\mathbf{x}) \tag{5.10}$$

Uma vez que a transformação inversa t^{-1} é geralmente difícil de ser construída, exceto para elementos muito simples, é mais conveniente realizar todas as operações com o elemento de referência. Para expressões contendo derivadas com relação ao espaço real (x,y,z), é necessário obter expressões equivalentes no espaço do elemento de referência (u,v,p). Tais expressões dependem da matriz Jacobiana [J] da transformação.

5.3.2 - Derivada Primeira

Usando as regras de cálculo em vigor, obtêm-se a seguinte expressão:

Ou

$$\{\partial_u\} = [J]\{\partial_x\} \tag{5.11b}$$

onde [J] é a matriz Jacobiana da transformação geométrica. Uma expressão similar consiste em trocar as derivadas do espaço real pelas do espaço de referência.

Assim,

$$\{\partial_x\} = [j] \{\partial_u\} \tag{5.12b}$$

Substituindo (5.12b) em (5.11b):

$$[j] = [J]^{-1}$$
 (5.12c)

Determinação da forma explícita [j], para casos em duas e três dimensões:

* Duas dimensões:

$$[J] = \begin{bmatrix} J_{11} & J_{12} \\ J_{21} & J_{22} \end{bmatrix}; \quad [J]^{-1} = \frac{1}{\det J} \begin{bmatrix} J_{22} & -J_{12} \\ -J_{21} & J_{11} \end{bmatrix}$$
 (5.13)

* Três dimensões:

$$[J] = \begin{bmatrix} J_{11} & J_{12} & J_{13} \\ J_{21} & J_{22} & J_{32} \\ J_{31} & J_{32} & J_{33} \end{bmatrix}; \quad [J]^{-1} = \frac{1}{\det(J)} \begin{bmatrix} J_{22}J_{33} - J_{32}J_{23} & J_{13}J_{32} - J_{12}J_{33} & J_{12}J_{23} - J_{13}J_{22} \\ J_{31}J_{23} - J_{21}J_{33} & J_{11}J_{33} - J_{13}J_{31} & J_{21}J_{13} - J_{23}J_{11} \\ J_{21}J_{32} - J_{31}J_{22} & J_{12}J_{31} - J_{32}J_{11} & J_{11}J_{22} - J_{12}J_{21} \end{bmatrix}$$

onde:

$$\det(J) = J_{11}(J_{22} J_{33} - J_{32} J_{23}) + J_{12}(J_{31} J_{23} - J_{21} J_{33}) + J_{13}(J_{21} J_{32} - J_{31} J_{22})$$
 (5.14)

Computação dos termos de [J]

Os vários termos de [J] são obtidos diretamente pela diferenciação da expressão (5.3), reescrita da seguinte forma:

$$\langle x \ y \ z \rangle = \langle N^*(u) \rangle [\{x_n\} \{y_n\} \{z_n\}]$$
 (5.15)

 $\{x_n\},\{y_n\},\{z_n\}$ são as coordenadas nodais geométricas. A matriz Jacobiana é:

$$[J] = \begin{cases} \frac{\partial}{\partial u} \\ \frac{\partial}{\partial v} \\ \frac{\partial}{\partial p} \end{cases} \langle x \ y \ z \rangle = \begin{bmatrix} \langle N_{,u}^* \rangle \\ \langle N_{,v}^* \rangle \\ \langle N_{,p}^* \rangle \end{bmatrix} [\{x_n\} \{y_n\} \{z_n\}]$$

$$(5.16)$$

$$(3xn^e) \qquad (n^e x3)$$

Ela é obtida pelo produto de duas matrizes, uma contendo as derivadas das funções de transformação geométrica com respeito ao espaço do elemento de referência, e outra contendo as coordenadas reais dos nós geométricos do elemento.

Transformação de uma integral

Uma mudança de variáveis em (5.9), permite-nos mudar a integração de uma função f no domínio real V^e , em uma simples integração no espaço do elemento de referência V^e .

$$\int_{V} e f(x) dx dy dz = \int_{V} r f(x(u)) \det(J) du dv dp$$
 (5.17)

5.4 – Elementos Triangulares

5.4.1 - Sistema de Coordenadas

Para todos os elementos triangulares, o seguinte elemento de referência será utilizado:

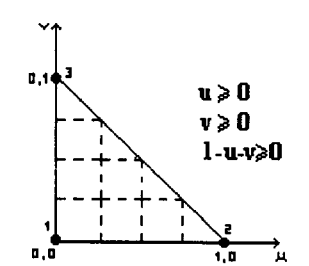


Figura 5.3 - Coordenadas do elemento de referência Triangular

As coordenadas (u,v) também podem ser interpretadas como coordenadas curvilíneas de um elemento real. Por convenção, os nós são numerados no sentido anti-horário.

5.4.2 – Elemento Linear(triângulo, três nós, C⁰)

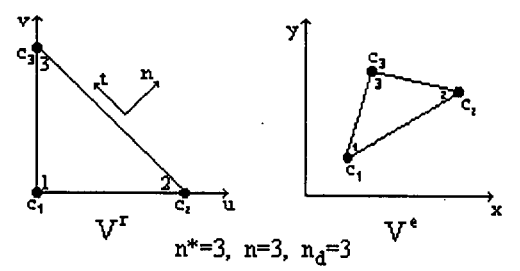


Figura 5.4 - Elemento Triangular Linear

Os nós geométricos e os de interpolação são idênticos.

Base polinomial:
$$\langle P \rangle = \langle 1 \ u \ v \rangle$$
 (5.18a)

$$[P_n] = \begin{bmatrix} \langle P(u_1) \rangle \\ \langle P(u_2) \rangle \\ \langle P(u_3) \rangle \end{bmatrix}; \qquad [P_n]^{-1} = \begin{bmatrix} 1 & 0 & 0 \\ -1 & 1 & 0 \\ -1 & 0 & 1 \end{bmatrix}$$
 (5.18b)

Substitui-se $\langle P \rangle$ e $[P_n]^{-1}$ em (5.0) para obter-se N, isto vale para todos os elementos.

As funções de Transformação Geométrica (idênticas as Funções de Interpolação), bem como suas derivadas, são dadas na Tabela 5.1:

Nó	{N}	{aN/au}	{aN/av}
1	1-u-v	-1	-1
2	u	1	0
3	v	0	1

Tabela 5.1 - Funções de forma e suas derivadas, do elemento Triangular Linear

Apresentação da matriz Jacobiana e do determinante:

$$[J] = \begin{bmatrix} x_2 - x_1 & y_2 - y_1 \\ x_3 - x_1 & x_3 - x_1 \end{bmatrix}$$

$$\det(J) = 2A = (x_2 - x_1)(y_3 - y_1) - (x_3 - x_1)(y_2 - y_1)$$
(5.18c)

Onde A é a área do triângulo.

5.4.3 - Tipo Lagrangiano(continuidade C⁰)

Estes elementos são obtidos pelo aumento do número de nós de interpolação sobre a fronteira e no interior dos elementos. Alguns dos nós geométricos, funções geométricas N^* e Matrizes Jacobianas [J] vistas anteriormente são preservadas. Estes elementos são sub-paramétricos.

5.4.3.1 – Elemento Quadrático(triângulo, seis nós, C⁰)

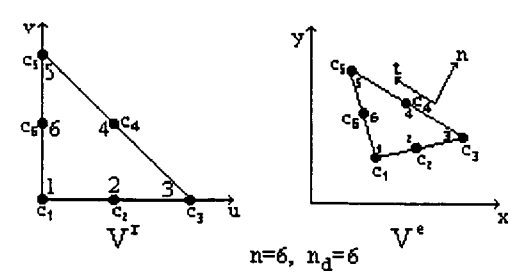


Figura 5.5 - Elemento Triangular Quadrático

Base polinomial:
$$\langle P \rangle = \langle 1 \ u \ v \ u^2 \ uv \ v^2 \rangle$$
 (5.19a)

Coordenada dos nós:
$$\langle u_i \rangle = \langle 0 \ 0; \ \frac{1}{2} \ 0; \ 1 \ 0; \ \frac{1}{2} \ \frac{1}{2}; \ 0 \ 1; \ 0 \ \frac{1}{2} \rangle$$

 $\langle x_i \rangle = \langle x_1 \ y_1; \ x_2 \ y_2; \ x_3 \ y_3; \ x_4 \ y_4; \ x_5 \ y_5; \ x_6 \ y_6 \rangle$

onde:

$$x_2 = \frac{1}{2} (x_1 + x_3)$$

$$x_4 = \frac{1}{2} (x_3 + x_5)$$

$$x_6 = \frac{1}{2} (x_5 + x_1)$$

$$[P_n]^{-1} = \begin{bmatrix} 1 & 0 & 0 & 0 & 0 & 0 \\ -3 & 4 & -1 & 0 & 0 & 0 \\ -3 & 0 & 0 & 0 & -1 & 4 \\ 2 & -4 & 2 & 0 & 0 & 0 \\ 4 & -4 & 0 & 4 & 0 & -4 \\ 2 & 0 & 0 & 0 & 2 & -4 \end{bmatrix}$$
 (5.19b)

As funções de Transformação Geométrica (idênticas as Funções de Interpolação), bem como suas derivadas, são dadas na Tabela 5.2:

Nó	{N}	(aN/au)	{3N/3v}	
1	-t(1-2t)	1-4t	1-4t	
2	4ut	4(t-u)	4u	
3	-u(1-2u)	-1+4u	0	t=1-u-v
4	4uv	4 v	4u	1-1-4-0
5	-u(1-2v)	0	-1+4v	
6	4vt	-4v	4(t-v)	

Tabela 5.2 - Funções de forma e suas derivadas, do elemento Triangular Quadrático

5.4.3.2 – Elemento Cúbico Completo(triângulo, dez nós, C⁰)

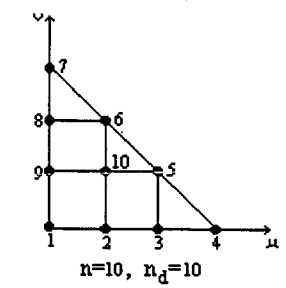


Figura 5.6 - Elemento Triangular Cúbico

As funções de interpolação N, podem ser obtidas diretamente pela fórmula:

$$N(i, j, k) = \prod_{l=0}^{i-1} \frac{l - r \cdot u}{l - i} \prod_{m=0}^{j-1} \frac{m - r \cdot v}{m - j} \prod_{n=0}^{k-1} \frac{n - r(1 - u - v)}{n - k}$$
 (5.20a)

Onde: i e j são os nós do elemento;

$$k = r - i - j$$
;

r é a ordem do polinômio.

Base polinomial: $\langle P \rangle = \langle 1 \ u \ v \ u^2 \ uv \ v^2 \ u^3 \ u^2v \ uv^2 \ v^3 \rangle$ (5.21)

As funções de Transformação Geométrica (idênticas as Funções de Interpolação), bem como suas derivadas, são dadas na Tabela 5.3:

Nó	c.[N]	c.{3N/3u}	c.{3N/3v}	С	
1 2 3 4 5 6	t(-1+3t)(-2+3t) 9tu(-1+3t) 9tu(-1+3u) u(-1+3u)(-2+3u) 9uv(-1+3u) 9uv(-1+3v)	-2+18t-27t ² 9t(-1+3t-6u)+9u 9u(1+6t-3u)-9t 2-18u+27u ² 9v(-1+6u) 9v(-1+3v)	-2+18t-27t ² -9u(-1+6t) -9u(-1+3u) 0 9u(-1+3u) 9u(-1+6v)	1/2	t=1-u-v
7 8 9 10	v(-1+3v)(-2+3v) 9tv(-1+3v) 9tv(-1+3t) 54uvt	0 -9v(-1+3v) -9v(-1+6t) 54v(t-u)	2-18v+27v ¹ 9v(1+6t-3v)-9t 9t(-1+3t-6v)+9v 54u(t-v)		

Tabela 5.3 - Funções de forma e suas derivadas, do elemento Triangular Cúbico

5.5 - Elementos Quadriláteros

5.5.1 - Sistema de Coordenadas

Para todos os elementos de referência, o seguinte sistema de referência será utilizado:

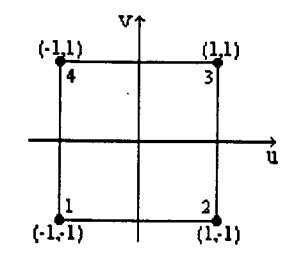


Figura 5.7 - Coordenadas do elemento de referência Quadrilátero

As coordenadas (u,v) também podem ser interpretadas como coordenadas curvilíneas de um elemento real.

Por convenção, os nós são numerados no sentido anti-horário.

5.5.2 – Elemento Bilinear(quadrilátero, quatro nós, C^0)

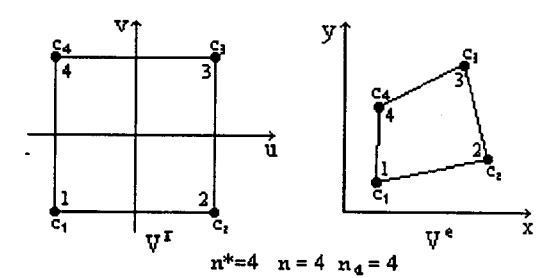


Figura 5.8 - Elemento Quadrilátero Bilinear

O elemento é iso-paramétrico.

Base polinomial:
$$\langle P \rangle = \langle 1 \ u \ v \ uv \rangle$$
 (5.22a)

As funções de Transformação Geométrica (idênticas as Funções de Interpolação), bem como suas derivadas, são dadas na Tabela 5.4:

Nó	c.{N}	c.{3N/3u}	c.{aN/av}	С
1	(1-u)(1-v)	-1+v	-1+u	
2	(1+u)(1-v)	1 - v	-1-u	1
3	(1+u)(1+v)	1+v	1+u	4
4	(1-u)(1+v)	-1 -v	1-u	

Tabela 5.4 - Funções de forma e suas derivadas, do elemento Quadrilátero Bilinear

5.5.3 – Elementos Lagrangianos de Ordem Superior(C⁰)

5.5.3.1 – Quadrático Incompleto(quadrilátero, oito nós, C^0)

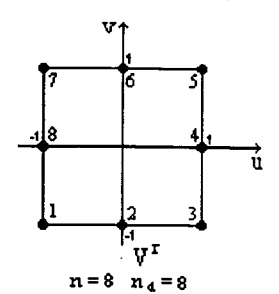


Figura 5.9 - Elemento Quadrilátero Quadrático Incompleto

Base polinomial: $\langle P \rangle = \langle 1 \ u \ v \ u^2 \ uv \ v^2 \ u^2v \ uv^2 \rangle$ (5.23)

Este elemento possui continuidade da classe C^0 .

As funções de Transformação Geométrica (idênticas as Funções de Interpolação), bem como suas derivadas, são dadas na Tabela 5.5:

Nó	{N}	{aN/au}	{8N/8v}
1	-(1-u)(1-v)(1+u+v)/4	(1-v)(2u+v)/4	(1-u)(u+2v)/4
2	(1-u²)(1-v)/2 -(1+u)(1-v)(1-u+v)/4	-(1-v)u (1-v)(2u-v)/4	-(1-u²)/2 -(1+u)(u-2v)/4
4	$(1+u)(1-v^2)/2$	$(1-v^2)/2$	-(1+u)v
5 6	-(1+u)(1+v)(1-u-v)/4 (1-u²)(1+v)/2	(1+v)(2u+v)/4 -(1+v)u	(1+u)(u+2v)/4 (1-u²)/2
7	-(1-u)(1+v)(1+u-v)/4	(1+v)(2u-v)/4	-(1-u)(u-2v)/4
8	$(1-u)(1-v^2)/2$	$-(1-v^2)/2$	-(1-u)v

Tabela 5.5 - Funções de forma e suas derivadas, do elemento Quadrilátero Quadrático Incompleto

5.5.3.2 – Cúbico Incompleto(quadrilátero, doze nós, C^0)

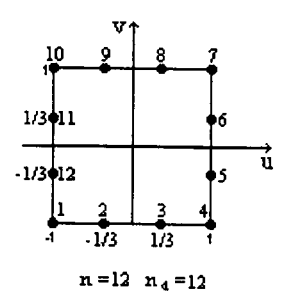


Figura 5.10- Elemento Quadrilátero Cúbico Incompleto

Base Polinomial: $\langle P \rangle = \langle 1 \ u \ v \ u^2 \ uv \ v^2 \ u^3 \ u^2v \ uv^2 \ v^3 \ u^3v \ uv^3 \rangle$ (5.24)

As funções de Transformação Geométrica (idênticas as Funções de Interpolação), bem como suas derivadas, são dadas na Tabela 5.6:

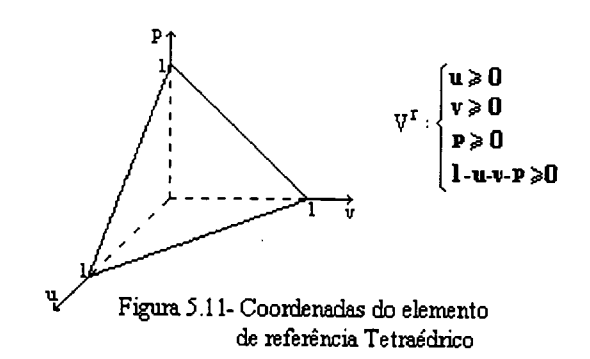
Nó	c.{N}	c.(3N/3u)	c.{3N/3v}	С
1	(1-u)(1-v)t	$(1-v)(10/9+2u-3u^2-v^2)$	$(1-u)(10/9+2v-u^2-3v^2)$	
2	$(1-3u)(1-u^2)(1-v)$	$(1-v)(-3-2u+9u^2)$	$(-1+u^2)(1-3u)$	
3	$(1+3u)(1-u^2)(1-v)$	$(1-v)(3-2u-9u^2)$	(-1+u ²)(1+3u)	
4	(1+u)(1-v)t	$(1-v)(-10/9+2u+3u^2+v^2)$	$(1+u)(10/9+2v-u^2-3v^2)$!
5	$(1+u)(1-3v)(1-v^2)$	$(1-v^2)(1-3v)$	(1+u)(-3-2v+9v ²)	
6	$(1+u)(1+3v)(1-v^2)$	$(1-v^2)(1+3v)$	$(1+u)(3-2v-9v^2)$	9/32
7	(1+u)(1+v)t	$(1+v)(-10/9+2u+3u^2+v^2)$		
8	$(1+3u)(1-u^2)(1+v)$	$(1+v)(3-2u-9u^2)$	$(1-u^2)(1+3u)$	
9	$(1-3u)(1-u^2)(1+v)$	$(1+v)(-3-2u+9u^2)$	$(1-u^2)(1-3u)$	
10	(1-u)(1+v)t	$(1+v)(10/9+2u-3u^2-v^2)$	$(1-u)(-10/9+2v+u^2+3v^2)$	
11	$(1-u)(1+3v)(1-v^2)$	$(-1+v^2)(1+3v)$	$(1-u)(3-2v-9v^2)$	
12	$(1-u)(1-3v)(1-v^2)$		$(1-u)(-3-2v+9v^2)$	İ
L				

Tabela 5.6 - Funções de forma e suas derivadas, do elemento Quadrilátero Cúbico $t = -10/9 + u^2 + v^2$

5.6 – Elementos Tetraédricos(três-dimensões)

5.6.1 - Sistema de Coordenadas

Para todos os elementos tetraédricos, o seguinte elemento de referência será utilizado:



Como nos casos anteriores, as coordenadas (u,v,p) também podem ser interpretadas como coordenadas curvilíneas de um elemento real.

5.6.2 – Elemento Linear(tetraédro, quatro nós, C^0)

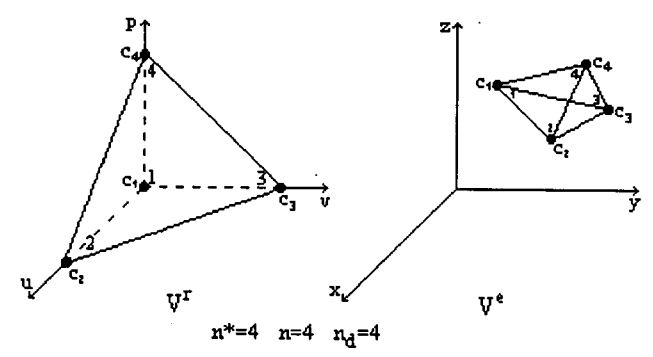


Figura 5.12 - Elemento Tetraédrico Linear

Os quatro nós geométricos são idênticos aos nós de interpolação, isto é, o elemento é isoparamétrico.

Base polinomial: $\langle P \rangle = \langle 1 \ u \ v \ p \rangle$ (5.25a)

$$[P_n] = \begin{bmatrix} \langle P(u_1) \rangle \\ \langle P(u_2) \rangle \\ \langle P(u_3) \rangle \\ \langle P(u_4) \rangle \end{bmatrix} \qquad [P_n]^{-1} = \begin{bmatrix} 1 & 0 & 0 & 0 \\ -1 & 1 & 0 & 0 \\ -1 & 0 & 1 & 0 \\ -1 & 0 & 0 & 1 \end{bmatrix}$$
(5.25b)

As funções de Transformação Geométrica (idênticas as Funções de Interpolação), bem como suas derivadas, são dadas na Tabela 5.7:

Nó	{N}	{aN/au}	{9N/9v}	{aN/ap}
1 1	1-u-v-p	-1	-1	-1
2	u	1	0	0
3	V	0	1	0
4	р	0	0	1

Tabela 5.7 - Funções de forma e suas derivadas, do elemento Tetraédrico Linear

A matriz Jacobiana é:

$$[J] = \begin{bmatrix} x_2 - x_1 & y_2 - y_1 & z_2 - z_1 \\ x_3 - x_1 & y_3 - y_1 & z_3 - z_1 \\ x_4 - x_1 & y_4 - y_1 & z_4 - z_1 \end{bmatrix}$$
 det $(J) = 6V$ (5.25c)

Onde: V é o volume do elemento real.

5.6.3 – Elementos Lagrangianos de Ordem Superior (C^0) 5.6.3.1 – Quadrático Completo(tetraédro, dez nós, C^0)

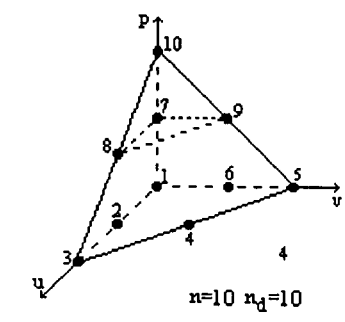


Figura 5.13 - Elemento Tetraédrico Quadrático

A representação geométrica linear dos elementos anteriores é preservada. A base polinomial completa é:

$$= < 1 \quad u \quad v \quad p \quad u^2 \quad uv \quad p^2 \quad vp \quad p^2 \quad up \quad >$$
 (5.26)

As funções N são facilmente derivadas do elemento triangular quadrático.

As funções de Transformação Geométrica (idênticas as Funções de Interpolação), bem como suas derivadas, são dadas na Tabela 5.8:

Nó	{N}	{3N/3u}	{aN/av}	{aN/ap}
1	-t(1-2t)	1-4t	1-4t	1-4t
2	4ut	4(t-u)	-4u	-4u
3	-u(1-2u)	-1+4u	0	0
4	4uv	4v	4u	0
5	-v(1-2v)	0	-1+4v	0
б	4vt	-4 v	4(t-v)	-4v
7	4pt	-4p	-4p	4(t-p)
8	4up	4p	0	4u
9	4vp	0	4p	4v
10	-p(1-2p)	0	. 0	-1+4p

t = 1 - u - v - p

Tabela 5.8 - Funções de forma e suas derivadas, do elemento Tetraédrico Quadrático

5.6.3.2 – Cúbico Completo(tetraédro, vinte nós, C⁰)

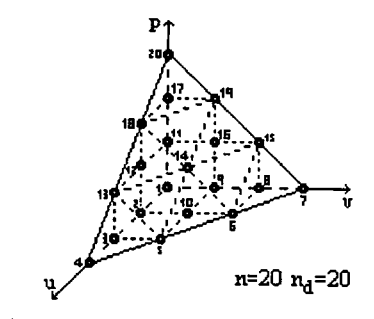


Figura 5.14 - Elemento Tetraédrico Cúbico

A base polinomial é:

$$= < 1 \quad u \quad v \quad p \quad u^2 \quad uv \quad v^2 \quad vp \quad p^2 \quad up \quad u^3 \quad u^2v \quad uv^2 \quad v^3 \quad v^2p \quad vp^2 \quad p^3 \quad up^2 \quad u^2p \quad uvp \quad >$$
 (5.27)

As funções de Transformação Geométrica (idênticas as Funções de Interpolação), bem como suas derivadas, são dadas na Tabela 5.9:

Nó	c.{N}	c.{aN/au}	c.{3N/3v}	c.{aN/ap}	С
1	t(-1+3t)(-2+3t)	(-2+18t-27t ²)	(-2+18t-27t ²)	·	<u> </u>
2	9tu(-1+3t)	9(t(-1+3t-6u)+u)	-9u(-1+6t)	(-2+18t-27t²) -9u(-1+6t)	
3	9tu(-1+3u)	-9(u(1+6t-3u)-t)	-9u(-1+3u)	-9u(-1+3u)	
4	u(-1+3u)(-2+3u)	$(2-18u+27u^2)$	->u(-11.5u)	1 -54(-1+34)	
5	9uv(-1+3u)	9v(-1+6u)	9u(-1+3u)	U	
6	9uv(-1+3v)	9v(-1+3v)	9u(-1+6v)	0	
7	v(-1+3v)(-2+3v)) (-11-30) n	$(2-18v+27v^2)$	U	
8	9tv(-1+3v)	-9v(-1+3v)	9(v(1+6t-3v)-t)	U 0/ 112>	
وا	9tv(-1+3t)	-9v(-1+6t)	9(t(-1+3t-6v)+v)	-9v(-1+3v)	
10	54uvt	54v(t-u)	54u(t-v)	-9v(-1+6t)	$\frac{1}{2}$
11	9tp(-1+3t)	-9p(-1+6t)	, ,	-54uv	' '
12	- ' '		-9p(-1+6t)	9(t(-1+3t-6p)+p)	ĺ
13	54upt	54p(t-u)	-54up	54u(t-p)	
	9up(-1+3u)	9p(-1+6u)	O U	9u(-1+3u)	
14	27uvp/c	27vp/c	27up/c	27uv/c	
15	9vp(-1+3v)	U	9p(-1+3v)	9v(-1+3v)	
16	54vpt	-54 v p	54p(t-v)	54 v (t-p)	
17	9tp(-1+3p)	-9p(-1+3p)	-9p(-1+3p)	9(p(1+6t-3p)-t)	
18	9up(-1+3p)	9p(-1+3p)	0	9u(-1+6p)	
19	9vp(-1+3p)	0	9p(-1+3p)	9v(-1+6p)]
20	p(-1+3p)(-2+3p)	0	``0 *	(2-18p+27p ²)	

Tabela 5.9 - Funções de forma e suas derivadas, do elemento Tetraédrico Cúbico t=1 - u - v - p

5.7 – Elementos Hexaédricos(três-dimensões)

5.7.1 – Elemento Trilinear(hexaédro, oito nós, C⁰)

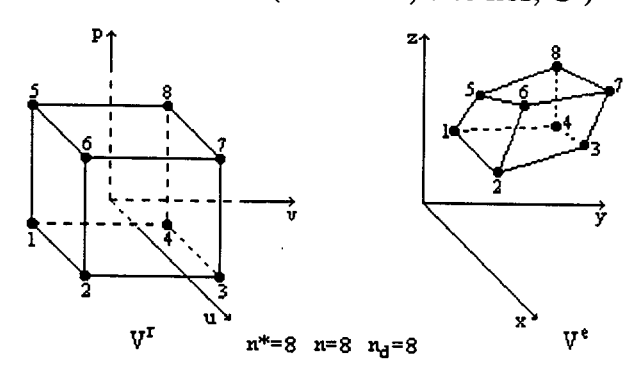


Figura 5.15 - Elemento Hexaédrico Trilinear

Este elemento é isoparamétrico, e a sua base polinomial é:

$$\langle P \rangle = \langle 1 \ u \ v \ p \ uv \ vp \ up \ uvp \rangle$$
 (5.28)

As funções de Transformação Geométrica (idênticas as Funções de Interpolação), bem como suas derivadas, são dadas na Tabela 5.10:

Nó	c.{N}	c.{3N/3u}	c.{3N/3v}	c.{aN/ap}	С
1 2 3 4 5 6 7 8	(1-u)(1-v)(1-p) (1+u)(1-v)(1-p) (1+u)(1+v)(1-p) (1-u)(1+v)(1-p) (1-u)(1-v)(1+p) (1+u)(1-v)(1+p) (1+u)(1+v)(1+p) (1-u)(1+v)(1+p)	-(1-v)(1-p) (1-v)(1-p) (1+v)(1-p) -(1+v)(1-p) -(1-v)(1+p) (1-v)(1+p) (1+v)(1+p) -(1+v)(1+p)	-(1-u)(1-p) -(1+u)(1-p) (1+u)(1-p) (1-u)(1-p) -(1-u)(1+p) -(1+u)(1+p) (1+u)(1+p) (1-u)(1+p)	-(1-u)(1-v) -(1+u)(1-v) -(1+u)(1+v) -(1-u)(1+v) (1-u)(1-v) (1+u)(1-v) (1+u)(1+v) (1-u)(1+v)	1/8

Tabela 5.10 - Funções de forma e suas derivadas, do elemento Hexaédrico Trilinear

5.7.2 – Elementos Lagrangianos de Ordem Superior(C⁰)

5.7.2.1 - Quadrático Incompleto(hexaédro, vinte nós, C⁰)

Este elemento é muito popular, e possue o seguinte mapeamento geométrico isoparamétrico:

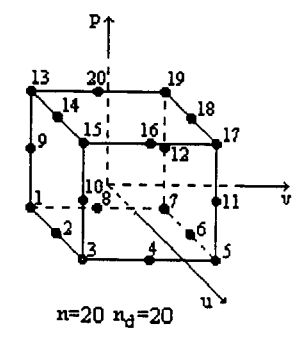


Figura 5.16 - Elemento Hexaédrico Quadrátrico Incompleto

A base polinomial é:

$$= < 1 \quad u \quad v \quad p \quad u^2 \quad uv \quad v^2 \quad vp \quad p^2 \quad up \quad u^2v \quad uv^2 \quad v^2p \quad vp^2 \quad up^2$$

$$u^2p \quad uvp \quad u^2vp \quad uv^2p \quad uvp^2 >$$
(5.29)

As funções de Transformação Geométrica (idênticas as Funções de Interpolação), bem como suas derivadas, são dadas na Tabela 5.11:

Nó	{N}	{aN/au}
1	(1-u)(1-v)(1-p)(-2-u-v-p)/8	-(1-v)(1-p)(-1-2u-v-p)/8
2	$(1-u^2)(1-v)(1-p)/4$	-u(1-v)(1-p)/2
3	(1+u)(1-v)(1-p)(-2+u-v-p)/8	(1-v)(1-p)(-1+2u-v-p)/8
4	$(1+u)(1-v^2)(1-p)/4$	$(1-v^2)(1-p)/4$
5	(1+u)(1+v)(1-p)(-2+u+v-p)/8	(1+v)(1-p)(-1+2u+v-p)/8
6	(1-u ²)(1+v)(1-p)/4	-u(1+v)(1-p)/2
7	(1-u)(1+v)(1-p)(-2-u+v-p)/8	-(1+v)(1-p)(-1-2u+v-p)/8
8	$(1-u)(1-v^2)(1-p)/4$	$-(1-v^2)(1-p)/4$
9	(1-u)(1-p²)(1-v)/4	-(1-v)(1-p²)/4
10	(1+u)(1-p²)(1-v)/4	$(1-v)(1-p^2)/4$
11	(1+u)(1-p²)(1+v)/4	$(1+v)(1-p^2)/4$
12	(1-u)(1-p²)(1+v)/4	-(1+v)(1-p ²)/4
	(1-u)(1-v)(1+p)(-2-u-v+p)/8	-(1-v)(1+p)(-1-2u-v+p)/8
14	(1-u²)(1-v)(1+p)/4	-u(1-v)(1+p)/2
15	(1+u)(1-v)(1+p)(-2+u-v+p)/8	(1-v)(1+p)(-1+2u-v+p)/8
16	(1+u)(1-v ²)(1+p)/4	(1-v²)(1+p)/4
17	(1+u)(1+v)(1+p)(-2+u+v+p)/8	(1+v)(1+p)(-1+2u+v+p)/8
18	(1-u ²)(1+v)(1+p)/4	-u(1+v)(1+p)/2
19	(1-u)(1+v)(1+p)(-2-u+v+p)/8	-(1+v)(1+p)(-1-2u+v+p)/8
20	(1-u)(1-v ²)(1+p)/4	$-(1-v^2)(1+p)/4$

Nó	(aN/ab)	{3N/3v}
1	-(1-u)(1-p)(-1-u-2v-p)/8	-(1-u)(1-v)(-1-u-v-2p)/8
2	-(1-u ²)(1-p)/4	-(1-u ²)(1-v)/4
3	-(1+u)(1-p)(-1+u-2v-p)/8	-(1+u)(1-v)(-1+u-v-2p)/8
4	-v(1+u)(1-p)/2	$-(1+u)(1-v^2)/4$
5	(1+u)(1-p)(-1+u+2v-p)/8	-(1+u)(1+v)(-1+u+v-2p)/8
б	$(1-u^2)(1-p)/4$	-(1-u ²)(1+v)/4
7	(1-u)(1-p)(-1-u+2v-p)/8	-(1-u)(1+v)(-1-u+v-2p)/8
8	-v(1-u)(1-p)/2	$-(1-u)(1-v^2)/4$
9	-(1-u)(1-p ²)/4	-p(1-u)(1-v)/2
10	-(1+u)(1-p²)/4	-p(1+u)(1-v)/2
11	$(1+u)(1-p^2)/4$	-p(1+u)(1+v)/2
12	$(1-u)(1-p^2)/4$	-p(1-u)(1+v)/2
13	-(1-u)(1+p)(-1-u-2v+p)/8	(1-u)(1-v)(-1-u-v+2p)/8
14	-(1-u ²)(1+p)/4	$(1-u^2)(1-v)/4$
15	-(1+u)(1+p)(-1+u-2v+p)/8	(1+u)(1-v)(-1+u-v+2p)/8
16	-v(1+u)(1+p)/2	$(1-v^2)(1+u)/4$
17	(1+u)(1+p)(-1+u+2v+p)/8	(1+u)(1+v)(-1+u+v+2p)/8
18	$(1-u^2)(1+p)/4$	$(1-u^2)(1+v)/4$
19	(1-u)(1+p)(-1-u+2v+p)/8	(1-u)(1+v)(-1-u+v+2p)/8
20	-v(1-u)(1+p)/2	$(1-u)(1-v^2)/4$
	· · · · · ·	· /\= ' /' '

Tabela 5.11 - Funções de Forma e suas derivadas, do elemento Hexaédrico Quadrático Incompleto

5.7.2.2 – Cúbico Incompleto(hexaédro, trinta e dois nós, C^0)

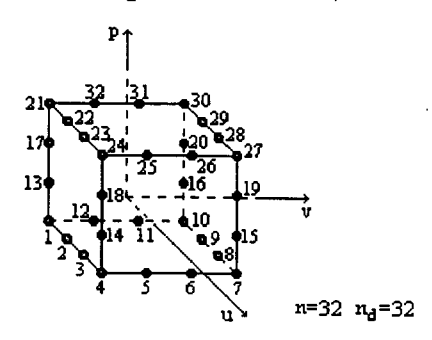


Figura 5.17 - Elemento Hexaédrico Cúbico Incompleto

A base polinomial é:

As funções de Transformação Geométrica (idênticas as Funções de Interpolação), bem como suas derivadas, são dadas na Tabela 5.12:

	(31)	
Nó	{N}	(3N/3u)
1	$(1-u)(1-v)(1-p)(-b+u^2+v^2+p^2)a$	$(1-v)(1-p)(b-3u^2-v^2-p^2+2u)a$
2	(1-u ²)(d-eu)(1-v)(1-p)c	$(1-v)(1-p)(-e-(2/9)u+u^2)c$
3	(1-u ²)(d+eu)(1-v)(1-p)c	$(1-v)(1-p)(e-(2/9)u+u^2)c$
4	$(1+u)(1-v)(1-p)(-b+u^2+v^2+p^2)a$	$(1-v)(1-p)(-b+3u^2+v^2+p^2+2u)a$
5	$(1+u)(1-v^2)(d-ev)(1-p)c$	$(1-v^2)(d-ev)(1-p)c$
б	$(1+u)(1-v^2)(d+ev)(1-p)c$	$(1-v^2)(d+ev)(1-p)c$
7	$(1+u)(1+v)(1-p)(-b+u^2+v^2+p^2)a$	$(1+v)(1-p)(-b+3u^2+v^2+p^2+2u)a$
8	(1-u ²)(d+eu)(1+v)(1-p)c	$(1+v)(1-p)(e-(2/9)u-u^2)c$
9	(1-u ²)(d-eu)(1+v)(1-p)c	$(1+v)(1-p)(-e-(2/9)u+u^2)c$
10	$(1-u)(1+v)(1-p)(-b+u^2+v^2+p^2)a$	$(1+v)(1-p)(b-3u^2-v^2-p^2+2u)a$
11	$(1-u)(1-v^2)(d+ev)(1-p)c$	-(1-v ²)(d+ev)(1-p)c
12	$(1-u)(1-v^2)(d-ev)(1-p)c$	$-(1-v^2)(d-ev)(1-p)c$
13	$(1-u)(1-v)(1-p^2)(d-ep)c$	$-(1-v)(1-p^2)(d-ep)c$
14	$(1+u)(1-v)(1-p^2)(d-ep)c$	$(1-v)(1-p^2)(d-ep)c$
15	$(1+u)(1+v)(1-p^2)(d-ep)c$	(1+v)(1-p ²)(d-ep)c
16	$(1-u)(1+v)(1-p^2)(d-ep)c$	-(1+v)(1-p²)(d-ep)c
17	$(1-u)(1-v)(1-p^2)(d+ep)c$	-(1-v)(1-p ²)(d+ep)c
18	$(1+u)(1-v)(1-p^2)(d+ep)c$	$(1-v)(1-p^2)(d+ep)c$
19	$(1+u)(1+v)(1-p^2)(d+ep)c$	$(1+v)(1-p^2)(d+ep)c$
20	$(1-u)(1+v)(1-p^2)(d+ep)c$	-(1+v)(1-p ²)(d+ep)c
21	$(1-u)(1-v)(1+p)(-b+u^2+v^2+p^2)a$	$(1-v)(1+p)(b-3u^2-v^2-p^2+2u)a$
22	$(1-u^2)(1-v)(1+p)(d-eu)c$	$(1-v)(1+p)(-e-(2/9)u+u^2)c$

a = 9/64 b = 19/9 c = 81/64 d = 1/9 e = 1/3

Nó	(N)	(aN/au)
23	$(1-u^2)(1-v)(1+p)(d+eu)c$	$(1-v)(1+p)(e-(2/9)u-u^2)c$
24	$(1+u)(1-v)(1+p)(-b+u^2+v^2+p^2)a$	$(1-v)(1+p)(-b+3u^2+v^2+p^2+2u)a$
25	$(1+u)(1-v^2)(1+p)(d-ev)c$	$(1-v^2)(1+p)(d-ev)c$
26	$(1+u)(1-v^2)(1+p)(d+ev)c$	$(1-v^2)(1+p)(d+ev)c$
27	$(1+u)(1+v)(1+p)(-b+u^2+v^2+p^2)a$	$(1+v)(1+p)(-b+3u^2+v^2+p^2+2u)a$
28	$(1-u^2)(1+v)(1+p)(d+eu)c$	$(1+v)(1+p)(e-(2/9)u-u^2)c$
29	(1-u ²)(1+v)(1+p)(d-eu)c	$(1+v)(1+p)(-e-(2/9)u+u^2)c$
30	$(1-u)(1+v)(1+p)(-b+u^2+v^2+p^2)a$	$(1+v)(1+p)(b-3u^2-v^2-p^2+2u)a$
31	$(1-u)(1-v^2)(1+p)(d+ev)c$	-(1-v ²)(1+p)(d+ev)c
32	$(1-u)(1-v^2)(1+p)(d-ev)c$	-(1-v ²)(1+p)(d-ev)c

$ \begin{array}{cccccccccccccccccccccccccccccccccccc$	Nó	{aN/ap}	{3N/3v}
$ \begin{array}{cccccccccccccccccccccccccccccccccccc$	1	$(1-u)(1-p)(b-u^2-3v^2-p^2+2v)a$	$(1-u)(1-v)(b-u^2-v^2-3p^2+2p)a$
$ \begin{array}{cccccccccccccccccccccccccccccccccccc$	2		
$ \begin{array}{cccccccccccccccccccccccccccccccccccc$	3		
$ \begin{array}{cccccccccccccccccccccccccccccccccccc$	4	1	
$ \begin{array}{c ccccccccccccccccccccccccccccccccccc$	5	$(1+u)(1-p)(-e-(2/9)v+v^2)c$	
$ \begin{array}{cccccccccccccccccccccccccccccccccccc$	б	$(1+u)(1-p)(e-(2/9)v-v^2)c$	
$ \begin{array}{cccccccccccccccccccccccccccccccccccc$		$(1+u)(1-p)(-b+u^2+3v^2+p^2+2v)a$	
$ \begin{array}{cccccccccccccccccccccccccccccccccccc$		$(1-u^2)(1-p)(d+ev)c$	
$ \begin{array}{c ccccccccccccccccccccccccccccccccccc$	9	(1-u ²)(1-p)(d-ev)c	
$\begin{array}{cccccccccccccccccccccccccccccccccccc$	10	(1-u)(1-p)(-b+u ² +3v ² +p ² +2v)a	
$ \begin{array}{cccccccccccccccccccccccccccccccccccc$		$(1-u)(1-p)(e-(2/9)v-v^2)c$	
$ \begin{array}{cccccccccccccccccccccccccccccccccccc$	1	(1-u)(1-p)(-e-(2/9)v+v²)c	-(1-u)(1-v ²)(d-ev)c
$ \begin{array}{cccccccccccccccccccccccccccccccccccc$	l .		
$ \begin{array}{c ccccccccccccccccccccccccccccccccccc$	ı		
$ \begin{array}{c ccccccccccccccccccccccccccccccccccc$	1		$(1+u)(1+v)(-e-(2/9)p+p^2)c$
$ \begin{array}{cccccccccccccccccccccccccccccccccccc$	1		
$ \begin{array}{cccccccccccccccccccccccccccccccccccc$			$(1-u)(1-v)(e-(2/9)p-p^2)c$
$ \begin{array}{c ccccccccccccccccccccccccccccccccccc$			$(1+u)(1-v)(e-(2/9)p-p^2)c$
$ \begin{array}{c ccccccccccccccccccccccccccccccccccc$			
$ \begin{array}{c ccccccccccccccccccccccccccccccccccc$			$(1-u)(1+v)(e-(2/9)p-p^2)c$
$ \begin{array}{c ccccccccccccccccccccccccccccccccccc$			
$ \begin{array}{c ccccccccccccccccccccccccccccccccccc$			(1-u²)(1-v)(d-eu)c
$ \begin{array}{cccccccccccccccccccccccccccccccccccc$	l 1	-(1-u²)(1+p)(d+ev)c	(1-u²)(1-v)(d+eu)c
$ \begin{array}{c ccccccccccccccccccccccccccccccccccc$		$(1+u)(1+p)(b-u^2-3v^2-p^2+2v)a$	$(1+u)(1-v)(-b+u^2+v^2+3p^2+2p)a$
$ \begin{array}{c ccccccccccccccccccccccccccccccccccc$			(1+u)(1-v ²)(d-ev)c
$ \begin{array}{c ccccccccccccccccccccccccccccccccccc$		$(1+u)(1+p)(e-(2/9)v-v^2)c$	$(1+u)(1-v^2)(d+ev)c$
$ \begin{array}{c cccc} 28 & (1-u^2)(1+p)(d+ev)c & (1-u^2)(1+v)(d+eu)c \\ 29 & (1-u^2)(1+p)(d-ev)c & (1-u^2)(1+v)(d-eu)c \\ 30 & (1-u)(1+p)(-b+u^2+3v^2+p^2+2v)a & (1-u)(1+v)(-b+u^2+v^2+3p^2+2p)a \\ 31 & (1-u)(1+p)(e-(2/9)v-v^2)c & (1-u)(1-v^2)(d+ev)c \\ \end{array} $			$(1+u)(1+v)(-b+u^2+v^2+3p^2+2p)a$
$ \begin{array}{c ccccccccccccccccccccccccccccccccccc$			
31 $(1-u)(1+p)(e-(2/9)v-v^2)c$ $(1-u)(1-v^2)(d+ev)c$		$(1-u^2)(1+p)(d-ev)c$	$(1-u^2)(1+v)(d-eu)c$
31 $(1-u)(1+p)(e-(2/9)v-v^2)c$ $(1-u)(1-v^2)(d+ev)c$	t	$(1-u)(1+p)(-b+u^2+3v^2+p^2+2v)a$	$(1-u)(1+v)(-b+u^2+v^2+3p^2+2p)a$
32 $(1-u)(1+p)(-e-(2/9)v+v^2)c$ $(1-u)(1-v^2)(d-ev)c$			
	32	$(1-u)(1+p)(-e-(2/9)v+v^2)c$	(1-u)(1-v ²)(d-ev)c

a = 9/64 b = 19/9 c = 81/64 d = 1/9 e = 1/3

Tabela 5.12 - Funções de Forma e suas derivadas, do elemento Hexaédrico Cúbico Incompleto

Capítulo 6 - DESCRIÇÃO DAS BIBLIOTECAS

6.1 - Introdução

Este capítulo tem o objetivo de descrever as subrotinas utilizadas na formação de bibliotecas contendo as funções de forma nodais (ou de interpolação) e os pontos de integração, para diferentes elementos finitos, em duas e três dimensões. Esta descrição consiste na declaração dos nomes e dos argumentos utilizados em cada subrotina, e como utilizá-las num programa de cálculo de campos, e ainda dar uma idéia geral da estrutura das subrotinas, através de um algoritmo. Exemplos de programas para testes das subrotinas, para verificar a validade das funções também serão abordados.

6.2 - Nomenciatura e Declaração dos Argumentos

Neste parágrafo será feita uma descrição da nomenclatura e declaração dos argumentos utilizados em cada subrotina.

6.2.1 – Elementos em Duas Dimensões

6.2.1.1 – Funções de Forma (ou de Interpolação)

(a) Elemento Triangular:

FNTL2(argumentos):

FNTQ2(argumentos):

FN - Função de Forma Nodal

FN - Função de Forma Nodal

TL - elemento Triangular Linear

TQ - elemento Triangular Quadrático

2 - Caso bidimensional

2 - Caso bidimensional

FNTC2(argumentos):

FN - Função de Forma Nodal

TC - elemento Triangular Cúbico

2 - Caso bidimensional

(b) Elemento Quadrilátero

FNQB2(argumentos):

FNQQ2(argumentos):

FN - Função de Forma Nodal

FN - Função de Forma Nodal

QB - elemento Quadrilátero Bilinear QQ - elemento Quadrilátero Quadrático

2 - Caso bidimensional

2 - Caso bidimensional

FNQC2(argumentos):

FN - Função de Forma Nodal

QC - elemento Quadrilátero Cúbico

2 - Caso bidimensional

Argumentos: (u,v,xr,yr,fn,dnx,dny,detj)

- U e V: pontos de integração;
- Xr e Yr: coordenadas nodais do elemento de referência;
- Fn: valor da função de forma nodal;
- Dnx e Dny: valores das derivadas de Fn em relação a x e y;
- Detj: valor da determinante da Matriz Jacobiana.

Os argumentos descritos acima, são válidos para os seis casos mencionados anteriormente.

6.2.1.2 – Pontos de Integração

(a) Elemento Triangular

PITL2(argumentos):

PITQ2(argumentos):

PI - Pontos de Integração

PI - Pontos de Integração

TL - elemento Triangular Linear

TQ - elemento Triangular Quadrático

2 - Caso bidimensional

2 - Caso bidimensional

PITC2(argumentos):

PI - Pontos de Integração

TC - elemento Triangular Cúbico

2 - Caso bidimensional

(b) Elemento Quadrilátero

PIQB2(argumentos):

PIQQ2(argumentos):

PI - Pontos de Integração

PI - Pontos de Integração

QB - elemento Quadrilátero Bilinear QQ - elemento Quadrilátero Quadrático

2 - Caso bidimensional

2 - Caso bidimensional

PIQC2(argumentos):

PI - Pontos de Integração

QC - elemento Quadrilátero Cúbico

2 - Caso bidimensional

Argumentos: (npi,ui,vi,wi)

• Npi: Número de Pontos de Integração

• Ui e Vi: Pontos de Integração

• Wi: peso

Os argumentos descritos acima, são válidos para os seis casos mencionados anteriormente.

6.2.2 – Elementos em Três Dimensões

6.2.2.1 - Funções de Forma (ou de Interpolação)

(a) Elemento Tetraédrico:

FNTL3(argumentos): FNTQ3(argumentos):

FN - Função de Forma Nodal FN - Função de Forma Nodal

TL - elemento Tetraédrico Linear TQ - elemento Tetraédrico Quadrático

3 - Caso tridimensional 3 - Caso tridimensional

FNTC3(argumentos):

FN - Função de Forma Nodal

TC - elemento Tetraédrico Cúbico

3 - Caso tridimensional

(b) Elemento Hexaédrico:

FNHT3(argumentos): FNHQ3(argumentos):

FN - Função de Forma Nodal FN - Função de Forma Nodal

HT - elemento Hexaédrico Trilinear HQ - elemento Hexaédrico Quadrático

3 - Caso tridimensional 3 - Caso tridimensional

FNHC3(argumentos):

FN - Função de Forma Nodal

HC - elemento Hexaédrico Cúbico

3 - Caso tridimensional

Argumentos: (u,v,p,xr,yr,zr,fn,dnx,dny,dnz,detj)

- U, V e P: pontos de integração;
- Xr, Yr e Zr: coordenadas nodais do elemento de referência;
- Fn: valor da função de forma nodal;

- Dnx, Dny e Dnz: valores das derivadas de Fn em relação a x, y e z;
- Detj: valor da determinante da Matriz Jacobiana.

Os argumentos descritos acima, são válidos para os seis casos mencionados anteriormente.

6.2.2.2 - Pontos de Integração

(a) Elemento Tetraédrico:

PITL3(argumentos): PITQ3(argumentos):

PI - Pontos de Integração PI - Pontos de Integração

TL - elemento Tetraédrico Linear TQ - elemento Tetraédrico Quadrático

3 - Caso tridimensional 3 - Caso tridimensional

PITC3(argumentos):

PI - Pontos de Integração

TC - elemento Tetraédrico Cúbico

3 - Caso tridimensional

(b) Elemento Hexaédrico:

PIHT3(argumentos): PIHQ3(argumentos):

PI - Pontos de Integração PI - Pontos de Integração

HT - elemento Hexaédrico Trilinear HQ - elemento Hexaédrico Quadrático

3 - Caso tridimensional 3 - Caso tridimensional

PIHC3(argumentos):

PI - Pontos de Integração

HC - elemento Hexaédrico Cúbico

3 - Caso tridimensional

Argumentos: (npi,ui,vi,pi,wi)

- Npi: Número de Pontos de Integração
- Ui, Vi e Pi: Pontos de Integração
- Wi: peso

Os argumentos descritos acima, são válidos para os seis casos mencionados anteriormente.

6.3 - Apresentação das Bibliotecas

Inicialmente, as subrotinas foram implementadas para programas que utilizam a linguagem FORTRAN. Assim, para as bibliotecas em duas e três dimensões, as subrotinas apresentam a seguinte forma:

- para as funções de forma nodais (ou de interpolação):

SUBROUTINE FN...(ARGUMENTOS)

- para os pontos de integração:

SUBROUTINE PI....(ARGUMENTOS)

A forma de chamada para cada subrotina é feita da seguinte maneira:

- para as funções de forma nodais (ou de interpolação):

CALL FN...(ARGUMENTOS)

- para os pontos de integração:

CALL PI....(ARGUMENTOS)

este comando pode aparecer na estrutura do programa principal, ou dentro de um módulo (sub-programa).

Normalmente, a chamada é feita na etapa de formação do elemento, onde para cada elemento a chamada da subrotina correspondente é repetida npi vezes, obtendo-se assim, a matriz rigidez ou contribuição ($S_{NKTxNKT}$) de acordo com o número de nós (nkt) de cada elemento. Após, este processo ser repetido para todos os elementos, a matriz rigidez é condensada em um sistema matricial global (SS). Após a inserção das condições de contorno, um sistema matricial do tipo: [SS][V] = [VDR], onde [V] é a matriz das variáveis incógnitas,

e [VDR] é a matriz contendo as condições de contorno, é resolvido, obtendo-se assim as variáveis incógnitas, como por exemplo, os potenciais em cada nó.

7.3.1 – Estrutura das Subrotinas

Em geral as subrotinas contendo as funções de forma nodais (ou de interpolação) são semelhantes, isto é, possuem uma mesma estrutura modular. O que as diferencia é o módulo onde estão declaradas as funções de forma e suas derivadas, uma vez que cada elemento possue o seu próprio equacionamento.

Abaixo tem-se um algoritmo das subrotinas contendo as funções de forma nodais:

PROGRAMA PRINCIPAL

SUBROTINA FN...(ARGUMENTOS)

Declaração das Variáveis

- 1 Chamada da subrotina contendo as funções de forma nodais [N] e suas derivadas em relação a u e v (2D), ou u, v e p (3D).
- 2 Chamada da subrotina de cálculo do determinate da matriz Jacobiana.
- 3 Chamada da subrotina de cálculo das derivadas das funções de forma nodais em relação a x e y (2D), ou x, y e z (3D).

Fim

Figura 6.1 - Algoritmo das subrotinas contendo as funções de forma

As subrotinas contendo os pontos de integração possuem uma estrutura mais simples, isto é, não são subdivididas em módulos, uma vez que possuem apenas dados numéricos.

6.3.2 – Teste das Subrotinas

Para verificar a validade e observar se não haviam erros, todas as subrotinas foram testadas em um programa baseado no módulo EFCS, cujo objetivo é efetuar cálculos estáticos via elementos finitos. Este software é uma das etapas de processamento que compõem o sistema EFCAD. Assim, um programa mais simples foi implementado. As alterações mais significantes foram feitas na forma de entrada de dados e, para alguns casos, a malha foi feita manualmente. Na etapa de formação do elemento, foram incluídas as subrotinas contendo as funções de forma e os pontos de integração. A saída, mostra apenas os potenciais em cada nó do elemento. As etapas principais como, condensação da matriz global, inserção das condições de contorno e resolução do sistema matricial não foram alteradas, a fim de manter a maior semelhança possível com o programa original, e assim servir como modelo para uso mais aprofundado. Para um melhor entendimento do funcionamento do programa sugere-se ver a referência [8]. Abaixo, um algoritmo do programa EFCS simplificado:

PROGRAMA PRINCIPAL

Declaração das Variáveis

Inicio

Chama Subrotina DATAIN para entrada de dados

Chama Subrotina BAND para o calculo da Matriz Banda

Chama Subrotina ZERO para Inicialização das Matrizes

Chama Subrotina FORM para Formação dos Elementos e da Matriz Global SS

Chama Subrotina COFRON para Inserção das Condições de Contorno (VDR)

Chama subrotina RESOL para Resolução do Sistema Matricial [vv]=[vdr]/[ss]

Chama subrotina SAIDA para impressão dos resultados

Fim

Figura 6.2 – Algoritmo do programa EFCS simplificado

O algoritmo mostrado anteriormente é válido para duas e três dimensões, diferenciando apenas para o caso em três dimensões a inclusão das variáveis relacionadas ao eixo Z.

Exemplos dos programas em duas e três dimensões estão em ANEXO.

Com o auxílio dos programas citados anteriormente, foram realizados testes com todos os elementos em duas e três dimensões. Para os testes em 2D foi implementado um programa malhador que permite a escolha o tipo de elemento. A arquivo gerado por este malhador será o arquivo de entrada para o programa de testes em 2D. Este arquivo de entrada contêm dados sobre o tipo de elemento, número de nós de cada elemento, número total de nós, número dos nós que constituem determinado elemento, coordenadas dos nós, potenciais impostos, tipo de material, etc. Para os testes em 3D o arquivo de entrada foi feito manualmente com as mesmas características do arquivo 2D. No momento da simulação, tanto o programa de testes em 2D quanto em 3D são capazes de identificar o tipo de elemento e fornecer um arquivo de saída contendo os potenciais em cada nó e o campo elétrico de cada elemento. Em ANEXO encontram-se alguns resultados dos referidos programas. Em todos os testes realizados, os resultados obtidos foram satisfatórios.

As bibliotecas contendo as funções de forma em 2D e 3D, as bibliotecas com os pontos de integração em 2D e 3D, e todos os resultados obtidos dos programas 2D e 3D, encontramse na Biblioteca do GRUCAD(Grupo de Concepção e Análise de Dispositivos Eletromagnéticos), ou ainda em arquivos nos computadores do referido Laboratório.

Capítulo 7 - CONCLUSÃO

7.1 – Sobre as Bibliotecas

Na resolução de problemas pelo método de elementos finitos, aplicando-se por exemplo o Método de Resíduos Ponderados de Galerkin, as funções de forma ou de interpolação exercem um papel fundamental no processo de cálculo das grandezas eletromagnéticas, como por exemplo, a distribuição do campo elétrico \vec{E} e do potencial V, em aplicações envolvendo dispositivos físicos. A grande vantagem deste método está no fato de que a formulação numérica pode ser obtida diretamente das equações que definem o fenômeno físico tratado.

Contudo, é necessário um maior desenvolvimento nos estudos das funções de forma (ou de interpolação), adaptando de forma mais precisa o comportamento das grandezas dentro dos elementos. Na implementação dos programas utilizados nessa dissertação para verificação da validade das bibliotecas, foram feitas simplificações em relação ao programa original (EFCS), tal que os mesmos funcionam apenas para o caso linear, potencial escalar em 2D e 3D. Para implementação de um programa com as mesmas características do software EFCS, é necessário levar-se em consideração aspectos como a repetição geométrica de um domínio onde as fontes de campo se encontram no mesmo sentido dentro do domínio (caso de periodicidade), ou em sentidos opostos (caso de anti-periodicidade); casos que possuem partes móveis na estrutura, onde apareceria um termo relativo à velocidade; problemas que possuem uma simetria de resolução (axi-simétricos) e ainda problemas não-lineares, em que a permeabilidade μ ou a relutividade ν dos materiais ferromagnéticos são caracterizados por uma curva B(H) e portanto para cada valor de H(ou B) tem-se um valor diferente de μ ou ν. Porém, esta generalização não é o objetivo deste trabalho.

Com relação a padronização das subrotinas, principal objetivo desta dissertação, as mesmas resultaram numa estrutura simples e objetiva. Os programas implementados nessa dissertação servem como referência para correta colocação das mesmas (indicam a etapa do programa em que devem ser feitas as chamadas das subrotinas contendo as funções de forma), uma vez que estes programas apresentam subrotinas semelhantes ao módulo original. Ficará a

cargo do programador, adaptar a subrotina de entrada e de saída de resultados ao tipo de elemento, uma vez que a etapa de cálculo está indicada.

7.2 – Trabalhos Futuros

Para trabalhos futuros propõem-se uma continuação da implementação de uma biblioteca de funções de forma que atendam as exigências citadas anteriormente a fim de se manter as mesmas caracteríticas apresentadas pelo software EFCS (etapa de processamento), para casos em duas e três dimensões, lineares e não-lineares, utilizando-se Elementos Finitos e Elementos de Arestas. Além disso, o estudo requer um aprimoramento nos sistemas geradores de malhas atuais (etapa de pré-processamento), com desafios significativos no domínio 3D. Os resultados obtidos serão implementados nos sistemas FEECAD e EFCAD de Cálculo de Campos Eletromagnéticos.

Essa nova biblioteca também terá o intuito de padronizar e auxiliar o programador de softwares que utilizam o método de elementos finitos na elaboração da etapa de cálculo do programa (processador). Seria interessante efetuar implementações utilizando-se novas linguagens computacionais no ambiente Windows, como por exemplo a linguagem Fortran 90 que é uma evolução do Fortran 77, e que apresenta compatibilidade entre os sistemas UNIX e Windows.

REFERÊNCIA

- [1] **Dahtt, G. and Touzot,G.**, The Finite Element Method Displayed, John Wiley & Sons, California, 1985.
- [2] **Zienkiewicz, O.** C., La Methods des elements finits (translated from the English), Pluralis, France, 1976.
- [3] Gallagher, R. H., Introduction aux elements finis (translated from the English by J.L. Claudon), Pluralis, France, 1976.
- [4] Rockey, K.C., Evans, H.R., Griffiths, D.W. and Nethercot, D.A., Elements finis, (translated from the English by C. Gomes), Eyrolles, France, 1979.
- [5] Absi, E., Methode de calcul numérique en elaticité, Eyrolles, France, 1978.
- [6] Imbert, J. F., Analyse des structures par éléments finis, Cepadues Ed., France, 1979.
- [7] Strang, G. and Fix, O.J., Analysis of the Finite Element Methods, Prentice-Hall, New Jersey, 1973.
- [8] Assumpção Bastos, J. P., Eletromagnestismo e Cálculo de Campos, Ed. UFSC, Brasil, 1992.

1 – PROGRAMA PARA APLICAÇÃO DAS FUNÇÕES 2D

```
OBSERVACAO: ESTE PROGRAMA ESTA TRABALHANDO APENAS COM POTENCIAL
          ESCALAR 2D.
C
          A entrada de dados e feita por um malhador regular simples. A etapa de calculo é feita
c
          utilizando-se as funções de forma de acordo com o tipo de elemento.
С
c
С
          Este programa utiliza as seguintes subrotinas do programa EFCS:
                       - ZERO: zerar variáveis do sistema(condição inicial)
C
                      - BAND: calculo da matriz banda
C
                      - SSFORM: condensar a matriz
c
                       - COFRON: adicionar as condições de contorno
C
                       - RESOL: resolver o sistema matricial
c
C
        Subrotinas adicionadas para o cálculo via Método dos Resíduos:
c
       - PITL2, PITQ2, PITC2: pontos de integração para os diferentes elementos triangulares 2D
c
       - PIQB2, PIQC2: pontos de integração para os diferentes elementos quadriláteros 2D
C
       - FNTL2,FNTQ2,FNTC2: funções de forma para os diferentes elementos triangulares 2D
С
       - FNQB2,FNQQ2,FNQC2: funções de forma para os diferentes elementos quadriláteros 2D
С
       As subrotinas anteriores permitem escolhas de acordo com o tipo de elemento.
c NOMENCLATURA:
c * detj - determinante do jacobiano
  * dn() - derivada de fn em relação a u e v
  * dnx,dny- derivada de fn em relação a x e y
c * ee - matriz rigidez [=S(nkt,nkt)]
c * fn() - funcao de forma nodal
c * fo(,) - arranjo contendo os nos com condição de contorno
c * iaxe - define o tipo de eixo(0:cartesiano ou 1:axi-simetrico)
c * icterm -termo relacionado com as fontes de aquecimento
c * ikind - define o tipo de potencial(0:Escalar ou 1:Vetor)
   * irep - numero de pares de nos periódicos da malha
С
        =0> nao ha periodicidade ou =1> ha period. no domínio
С
   * iterm - valor de uma constante (iterm=0)
  * ktri(,)-guarda o numero do meio do elemento
c * mat() - numero do meio em cada um dos NEL elementos
c * mb - matriz banda
  * mbb - Largura de banda
С
   * mrep(,)- guarda o arranjo com os pares de nos periódicos
  * nmat - numero de meios dielétricos
c * nno - numero de nos
c * nel - numero de elementos
c * nfron- numero de condições de fronteira
c * nkt - numero de nos de acordo com tipo de elemento
c * nonper - =0>caso periódico ou =1> caso anti-periódico
c * npi - número de pontos de integração
c * perm() - permissividade dos NMAT meios
c * ro() - densidade superficial de carga
c * ss() - matriz global
c * u,v - pontos de integração
 * ui, vi - pontos de integração
```

```
* vvi() - potencial imposto na fronteira
c * vdr() - vetor lado direito
c * vv() - potencial vetor incógnito
c * xcor() - coordenada x do no
c * xr,yr - coordenadas dos elementos no espaço de referencia
c * xmu=perm()- permissividade dos NMAT meios
c * ycor() - coordenada y do no
c * wi
        - peso
    C-----PROGRAMA PRINCIPAL
    parameter (jjfron=250,jel=10000,jrep=400,jno=10000,jfron=150)
    parameter (jnband=1000000)
    integer nno,nel,nfron,irep,nonper,ikind,iaxe,mb,mat(jno),nkt,nmat
    integer icdterm(jjfron),ktri(jel,12),iterm,fo(jjfron,jfron),ncle
    double precision xcor(jno),ycor(jno),vvi(jjfron),perm(30),ro(jno)
    double precision mrep(jrep,2),vdr(jno),ss(jnband),vv(jno)
    write(*,*)' '
    write(*,*)' '
    write(6,'(a$)')' ATENCAO!!!'
    write(6, '(a$)')' ESTE PROGRAMA ESTA OPERANDO APENAS COM'
    write(6,'(a$)')' POTENCIAL ESCALAR 2D'
    write(*,*)'
C*****-Chama DATAIN para entra de dados
    CALL DATAIN(nno,nel,nkt,nfron,ktri,xcor,ycor,vvi,fo,mat,ro,perm,
           nmat)
c-----Chama BAND para o calculo da Matriz Banda
    CALL BAND(nel,nno,ktri,mb,nkt)
C*****-Chama Subrotina ZERO para Inicialização das Matrizes
    CALL ZERO(nno,mb,vdr,vv,ss,mrep)
c-----Chama Subrotina FORM para Formação da Matriz Global SS
    CALL FORM(nel,irep,ikind,iaxe,nonper,mb,mrep,xcor,ycor,ktri,ss,
   * nno,mat,ro,perm,nkt)
C***-Chama Subrotina COFRON para Inserção das Condições de Contorno VDR
    CALL COFRON(nfron,nno,iaxe,ikind,iterm,YCOR,MB,ICTERM,FO,VDR,
   * VVI.SS)
C***-Chama subrotina RESOL para Resolução do Sistema Matricial
c
             [vv]=[vdr]/[ss]
     CALL RESOL(nno,mb,irep,nfron,iterm,SS,VDR,FO,VVI,VV)
c-----Chama subrotina SAIDA para impressão dos resultados
    CALL SAIDA(nno,nel,ikind,vv,vdr,nkt,ktri,xcor,ycor)
    STOP
    END
```

```
C::::::
                                                 subroutine DATAIN(nno,nel,nkt,nfron,ktri,xcor,
                                                 subroutine BAND(nel,nno,ktri,mb,nkt)
 ycor,vvi,fo,mat,ro,perm,nmat)
                                                    integer nel,nno,ktri(10000,12),mb,mbb
character namfs*20, namfu(20)
                                                    integer ivar,ktrid,imin,imax,idif
equivalence (namfs,namfu(1))
                                                    dimension ii(12)
parameter (jpont=150,JFRON=150,jel=10000)
parameter (jno=10000, jjfron=250)
                                                    mb=0
integer nmat, mat(jno),nkt
                                                    do 1 i=1,nel
integer nno,nel,nfron,fo(jjfron,jfron),ktri(jel,12),
                                                     ivar=nkt
double precision xcor(jno), ycor(jno), vvi(jifron),
                                                        do 2 k=1, ivar
                ro(jno),perm(30)
                                                         ii(k)=0
                                                       if(ii(k).eq.0)ii(k)=ktri(i,k)
c----- Leitura do arquivo de dados
                                                   2 continue
    character namfu(20)
                                                        imin=10000
    integer ict
                                                        imax=0
    equivalence (namfs,namfu(1))
                                                        do 5 k=1, ivar
                                                         if(ii(k).lt.imin)imin=ii(k)
    write(6,'(/a$)')'Arquivo de Entrada(.dat):'
                                                         if(ii(k).gt.imax)imax=ii(k)
    read(5,'(a)')namfs
                                                   5 continue
    do 11 i=16,1,-1
                                                        idif=imax-imin
     if(namfu(i).ne.' ')goto 22
                                                        if(mb.lt.idif)mb=idif
11
    continue
                                                   1 continue
    return
С
                                                    mbb=mb+1
22 namfu(i+1)='.'
                                                    write(6,'(//,a,i4)') ' Number of Elemts=',nel
   namfu(i+2)='d'
                                                    write(6,'(a,i4)') 'Number of Nodes=',nno
    namfu(i+3)='a'
                                                    write(6, (a, i4))
                                                                         Bandwidth=',mbb
   namfu(i+4)='t'
                                                    return
                                                    end
   open(10,file=namfs,form='formatted')
                                                read(10,*)nkt,nno,nel
                                                    subroutine ZERO(nno,mb,vdr,vv,ss,mrep)
C---Leitura da formação da malha
                                                    double precision vdr(1), ss(1), vv(1), mrep(1,1)
   do 1 i=1,nel
                                                    integer nno, mb, mbb
     read(10,*)(ktri(i,j),j=1,nkt),mat(i),ro(i)
C---Leitura de coordenadas dos nos
                                                    mbb=mb+1
   do 2 i=1,nno
                                                    do 1 i=1,nno
     read(10,*)xcor(i),ycor(i)
                                                     mrep(i,1)=0.
    read(10,*)nfron
                                                     mrep(i,2)=0.
C---Leitura de condições de contorno
                                                     vv(i)=0.
   do 3 i=1.nfron
                                                     vdr(i)=0.
    read(10,*)vvi(i)
                                                     do 1 n=1,mbb
    read(10,*)(fo(i,j),j=1,20)
                                                       in=(i-1)*mbb+n
   continue
                                                  1 \operatorname{ss(in)}=0.
   read(10,*)nmat
                                                   return
C---Leitura das permissividades dos meios
                                                   end
   do 4 i=1,nmat
                                                read(10,*)perm(i)
   return
   end
```

```
C:.....
                                                    c--Chama subrotina com os ptos de Integração
  subroutine FORM(nel,irep,ikind,iaxe,nonper,mb,
                                                        if(nkt.eq.3) call pitl2(npi,ui,vi,wi)
        mrep,xcor,ycor,ktri,ss,nno,mat,ro,perm,nkt)
                                                        if(nkt.eq.6)then
 double precision ss(1),xcor(1),ycor(1),mrep(1,1)
                                                         npi=4
 double precision perm(1),ro(1),xmu, xr(12),yr(12)
                                                         call pitq2(npi,ui,vi,wi)
integer nel,irep,ikind,iaxe,nonper,mb,nkt
                                                       endif
integer nno, mat(1), ktri(10000, 12)
                                                       if(nkt.eq.10)then
dimension ee(12,12)
                                                         npi=6
                                                         call pitc2(npi,ui,vi,wi)
    write(6,*)' '
    write(6,*)' Scalar Potential'
                                                       if(nkt.eq.4) call piqb2(npi,ui,vi,wi)
     ikind=0
                                                       if(nkt.eq.8) call piqq2(npi,ui,vi,wi)
    write(6,'(a$)')'
                   Cartesian '
                                                       if(nkt.eq.12)call piqc2(npi,ui,vi,wi)
     iaxe=0
     nonper=0
                                                    c-----Atribui os Pontos de Integração a u,v
     irep=0
                                                       do 18 k=1,npi
    write(6,*)' '
                                                          u=ui(k)
    write(6,'(/,a)')' Matrix Assembly ...'
                                                          v=vi(k)
                                                          w=wi(k)
    do 1 i=1,nel
                                                   c-----Chamada da subrotina contendo as
c----Coordenadas dos Elementos de Referência
                                                           Funções de Forma Nodais
      do 20 = 1,nkt
                                                     if(nkt.eq.3) call fntl2(u,v,xr,yr,fn,dnx,dny,detj)
       xr(j)=xcor(ktri(i,j))
                                                     if(nkt.eq.6) call fntq2(u,v,xr,yr,fn,dnx,dny,detj)
       yr(j)=ycor(ktri(i,j))
                                                     if(nkt.eq.10)call fntc2(u,v,xr,yr,fn,dnx,dny,detj)
20
       continue
                                                     if(nkt.eq.4) call fnqb2(u,v,xr,yr,fn,dnx,dny,detj)
      nm=mat(i)
                                                     if(nkt.eq.8) call fnqq2(u,v,xr,yr,fn,dnx,dny,detj)
      xmu=perm(nm)
                                                     if(nkt.eq.12)call fnqc2(u,v,xr,yr,fn,dnx,dny,detj)
c---Com a permeabilidade, calcula as contribuições
                                                         if(Abs(detj).gt.1.e-15) go to 1
       call CONTRB(nkt,xmu,xr,yr,ee)
                                                         write(6,*)' Area of Triangle is Zero'
c----Condensa as contribuições na matriz global
                                                   c-----Calculo da matriz ee
call SSFORM(i,nkt,ktri,ee,irep,nonper,mrep,mb,ss)
                                                     do 11 l=1,nkt
                                                        do 12 \text{ m}=1,\text{nkt}
1
    continue
                                                          coef=detj*xmu*w
   return
   end
                                                   ee(l,m)=ee(l,m)+(dnx(l)*dnx(m)+dny(l)*dny(m))*co
ef
subroutine CONTRB(nkt,xmu,xr,yr,ee)
integer npi,nkt
                                                   12
                                                         continue
double precision xmu,xr(12),yr(12),detj,coef,
                                                   11
                                                        continue
                 dnx(12),dny(12)
                                                   18
                                                       continue
double precision u,v,w,ui(12),vi(12),wi(12),fn(12)
                                                      return
dimension ee(12,12)
                                                      end
                                                   do 4 i=1,nkt
    do 4 j=1,nkt
4
       ee(i,j)=0.0
```

C%%%%%%%%%%%%%%%%%%%%%%%%%%%%%%%%%%%%%	C-CURROTINA DARA PROCUES
subroutine SSFORM(i,nkt,ktri,ee,irep,nonper,	C==SUBROTINA PARA PROCURA DE
mrep,mb,ss)	POSSIVEL NO PERIODICO==C
double precision ss(1),mrep(1,1)	Subroutine CHERCH(ij,ij1,irep,mrep)
integer mb,mbb,irep,nonper,nkt,ktri(10000,12)	double precision mrep(1,1)
dimension ee(12,12), iaux(12), $mm(12)$	integer ij,ij1,irep
unionsion \(\lambda(12,12),\text{idin}\(\lambda(12),\text{illin}\(\lambda(12)\)	ij1=0 do 1 i=1 iron
do j=1,nkt	do 1 i=1,irep
mm(j)=0	if(mrep(i,2).ne.ij)go to 1
enddo	ij1=mrep(i,1)
mbb=mb+1	return
if(irep.eq.0)go to 1	1 continue
c Procura possível no periódico	return
do 7 k0=1,nkt	end
ij=ktri(i,k0)	C:::::::::::::::::::::::::::::::::::::
$m_j = mm(k0)$	subroutine COFRON(nfron,nno,iaxe,ikind,iterm,
7 call Cherch(ij,mj,irep,mrep)	ycor, mo, icuterm, io, var, vvi, ss)
C	parameter (jjfron=250,jfron=150)
1 do $8 \text{ k1}=1,\text{nkt}$	double precision ss(1),vdr(1),vvi(1),ycor(1),xnorm,
8 $iaux(k1)=ktri(i,k1)$	1011055
do 9 k2=1,nkt	integer nfron,nno,iaxe,ikind,iterm,mb,mbb
9 if(mm(k2).ne.0)iaux(k2)=mm(k2)	integer fo(jjfron,jfron), icdterm(1)
if(nonper.eq.0)goto 5	!+ O
do 3 m=1,nkt	iterm=0
if(mm(m).eq.0)goto 3	xnorm=0.
do 4 n=1,nkt	Mbb=mb+1
if(m.eq.n)goto 4	do 10 i=1,nno
ee(m,n)=-ee(m,n)	ij=(i-1)*mbb+1
ee(n,n)=-ee(m,n) ee(n,m)=ee(m,n)	funcss=ss(ij)
4 continue	IF(xnorm.lt.Abs(funcss)) xnorm=Abs(funcss)
3 continue	10 continue
5 do 2 m=1,nkt	c Aproximação para evitar perda dos termos
	xnorm=xnorm*1e+14
im=iaux(m)	do 1 i=1,nfron
do 2 j=1,nkt	if(iterm.eq.0.and.icdterm(i).ne.0)goto 1
ij=iaux(j) if(im.gt.ij)go to 2	if(iterm.eq.1.and.icdterm(i).ne.2)goto 1
	do 2 n=1,jfron
c Troca índice ij para condensar matriz	if(fo(i,n).eq.0)goto 1
banda ii-ii im 1	j=fo(i,n)
ij=ij-im+1	vdr(j)=vvi(i)*xnorm
ijm=(im-1)*mbb+ij	if(iaxe.eq.1.and.ikind.eq.1.and.abs(ycor(j)).gt.1.e-
ss(ijm)=ss(ijm)+ee(j,m)	6)then
2 continue	vdr(j)=vdr(j)/(2.*3.141593*ycor(j))
return	endif
end	j1=(j-1)*mbb+1
C%%%%%%%%%%%%%%%%%%%%%%%%%%%%%%%%%%%%%	ss(j1)=xnorm
	2 continue
	1 continue
	return
	end
	C::::::c

```
ni=nno-i
 subroutine RESOL(nno,mb,irep,nfron,iterm,ss,
                                                         ni1=(ni-1)*mbb+1
                    vdr,fo,vvi,vv)
                                                         if(irep.ne.0.and.Abs(ss(ni1)).lt..1e-12)go to 7
parameter (jjfron=250,jfron=150)
                                                         som=0.
double precision ss(1),vdr(1),vvi(1),vv(1)
                                                         Min=i-mb+1
double precision fat, som
                                                         if(min.lt.1)min=1
Integer nno, mb, irep, nfron, iterm, nn, mbb, icont,
                                                         do 8 n=min.i
       mmax,min,in,im,nno1
                                                           ib=nno-n+1
integer fo(jjfron,jfron)
                                                           som=som+dble(ss((ni-1)*mbb+ib-ni+1))*
                                                    &
                                                                           dble(vv(ib))
    icont=0
                                                         continue
    write(6,'(a$)') ' Matrix Solution ....'
                                                         vv(ni)=(vdr(ni)-som)/ss(ni1)
    nn=nno-1
                                                      7 continue
    mbb=mb+1
                                                    c--- Restitui zero nos nos dirichlet, quando eletro-
c----- Tridiagonaliza a matriz
                                                          magnético
    do 1 i=1,nn
                                                       if(ITERM.eq.1)return
      icont=icont+1
                                                       do 10 i=1,NFRON
      if(icont.eq.int(nno*.2))write(6,'(a$)')'
                                                         if(Abs(vvi(i)).gt.1e-30)goto 10
      if(icont.eq.int(nno*.4))write(6,'(a$)')' 40%'
                                                         do 11 j=1,jfron
      if(icont.eq.int(nno*.6))write(6,'(a$)')'
                                                           if(fo(i,j).eq.0)goto 10
      if(icont.eq.int(nno*.8))write(6,'(a$)')' 80%'
                                                           vv(fo(i,j))=0.
      if(icont.eq.int( nn*1.))write(6,'(a$)')' 100%'
                                                     11
                                                          continue
      funci=ss((i-1)*mbb+1)
                                                     10 continue
      ii=i+1
                                                       return
      if(IREP.ne.0.and.Abs(funci).lt..1e-5)go to 1
                                                       end
      mmax=i+mb
                                                   c::::::c
      if(mmax.gt.nno)mmax=nno
      in=(i-1)*mbb-i+1
c-- Coloca a zero todos os coef menores que 1.e-16
      do 13 m=ii,mmax
       if(abs(ss(in+m)).lt.1.e-16)ss(in+m)=0.
  13 continue
c----- Passa as transformações
     do 2 m=ii.mmax
       fat=ss(in+m)/funci
       if(Dabs(fat).lt..le-18)go to 2
       if(abs(vdr(i)).lt.1.e-16)goto 12
       vdr(m)=vdr(m)-vdr(i)*fat
  12
        im=(m-1)*mbb-m+1
       do 5 j=m,mmax
        ss(im+j)=ss(im+j)-ss(in+j)*fat
  5
        continue
  2 continue
  1 continue
c---- Com a matriz modificada, volta pela diagonal
   nno1=(nno-1)*mbb+1
  if(IREP.ne.0.and.Abs(ss(nno1)).lt..1e-12)go to 6
   vv(nno)=vdr(nno)/ss(nno1)
  6 do 7 i=1,nn
```

CC	if(nkt.eq.6)then
subroutine SAIDA(nno,nel,ikind,vv,vdr,nkt,ktri,	write(11,43)
ACOL, yCOL)	43 format('TRIANGULAR QUADRATICO
double precision vv(1),vdr(1),vvmax,vvmin,xm0,	* DE SEGUNDA ORDEM ')
double precision u,v,fn(12),dnx(12),dny(12),ex,ey	endif
double precision xr(12),yr(12),emod,somax,	if(nkt.eq.10)then
somay, Acor(1), ycor(1)	write(11,44)
integer nno,ikind,ns,nkt,ktri(10000,12),nel	44 format(' TRIANGULAR CUBICO DE
data numors/0/	* TERCEIRA ORDEM ')
4 #0 141500 cht - G	endif
xmo=4.*3.1415926*1.e-7	if(nkt.eq.4)then
numors=numors+1	write(11,45)
vvmax=-1.e+20	45 format(' QUADRILATERO BILINEAR DE
vvmin= 1.e+20	* PRIMEIRA ORDEM ')
if(ikind.eq.0)then	endif
do 1 i=1,nno	if(nkt.eq.8)then
if(vv(i).gt.vvmax)vvmax=vv(i)	write(11,46)
if(vv(i).lt.vvmin)vvmin=vv(i)	46 format(' QUADRILATERO QUADRATICO
1 continue	* DE SEGUNDA ORDEM ')
else	endif
do 10 i=1,nno	if(nkt.eq.12)then
vdr(i)=vv(i)*xm0	write(11,47)
if(vdr(i).gt.vvmax)vvmax=vdr(i)	47 format(' QUADRILATERO CUBICO DE
if(vdr(i).lt.vvmin)vvmin=vdr(i) 10 continue	* TERCEIRA ORDEM ')
	endif
endif	write(11,48)
write(6,'(///a,e10.4)')' Min Pot=',vvmin	48
write(6,'(a,e10.4)')' Max Pot=',vvmax	format('C======C')
write(6,'(/,a)')' Storing Results'	write(11,*)' Numero de Nos=',nno
C. Impressed des regults des em	write(11,*)' Numero de Elementos=',nel
cImpressao dos resultados em um arquivo write(6,*)' '	write(11,*)' '
· ,	
write(6,*)' OS RESULTADOS	cImpressao de potencialidades nos NOS
ENCONTRAM-SE NO ARQUIVO SAIDA.DAT' write(6,*)' '	write(11,*)' POTENCIAL EM CADA NO '
` ' '	
open (11,file='saida.dat',form='formatted') write(11,39)	do 81 m=1,nno
39	81 write(11,90)m,vv(m)
format('C=========C')	90 format('No:',i3,' Potencial=',e10.4)
write(11,40)	write(11,*)' '
• • •	
C. ECCEC DE	cImpressao dos campos nos elementos
CAMPOS POR ELEMENTOS FINITOS ') write(11,41)	write(11,*)'VALOR DOS CAMPOS
	ELETRICOS EM CADA
41 format(' UTILIZANDO A FUNCAO DE	ELEMENTO'
FORMA NODAL PARA O ELEMENTO ')	
if(nkt.eq.3)then	LA CILLANDA ODADA DADA GAZ GZZ G Z Z Z
	cCHAMA GRAD PARA CALCULO DOS
write(11,42)	c CAMPO OU GRADIENTES
42 format('TRIANGULAR LINEAR DE	c CAMPO OU GRADIENTES do 102 in=1,nel
	c CAMPO OU GRADIENTES

```
c----Coordenadas dos Elementos de Referencia
     do 20 = 1,nkt
      xr(j)=xcor(ktri(in,j))
      yr(j)=ycor(ktri(in,j))
20
      continue
      u=0.
      v=0.
      if(nkt.eq.3) call fntl2(u,v,xr,yr,fn,dnx,dny,detj)
      if(nkt.eq.6) call fntq2(u,v,xr,yr,fn,dnx,dny,detj)
      if(nkt.eq.10)call fntc2(u,v,xr,yr,fn,dnx,dny,detj)
      if(nkt.eq.4) call fnqb2(u,v,xr,yr,fn,dnx,dny,deti)
      if(nkt.eq.8) call fnqq2(u,v,xr,yr,fn,dnx,dny,detj)
      if(nkt.eq.12)call fnqc2(u,v,xr,yr,fn,dnx,dny,detj)
      do 76 j=1,nkt
       somax = somax + (dnx(j)*vv(ktri(in,j)))
       somay=somay-(dny(j)*vv(ktri(in,j)))
76
       continue
      ex=-somax
      ey=-somay
      emod=sqrt(ex*ex+ey*ey)
      if(abs(ex).lt.1e-8)ex=0.0
      write(11,95)in,ex,ey,emod
95
      format(' Elem:',i3,' Ex=',e10.4,' Ey=',e10.4,' Er=',e10.4)
102 continue
   return
   end
```

2 – PROGRAMA PARA APLICAÇÃO DAS FUNÇÕES 3D

```
OBSERVAÇÃO: ESTE PROGRAMA ESTA TRABALHANDO APENAS COM POTENCIAL
         ESCALAR 3D.
c
       A entrada de dados é feita manualmente, por não haver malhadores específicos para todos os
С
   casos aqui estudados. A etapa de calculo é feita utilizando-se as funções de forma de acordo com
c
   o tipo de elemento.
c
c
         Este programa utiliza as seguintes subrotinas do programa EFCS:
              - ZERO: zerar variáveis do sistema(condição inicial)
c
              - BAND: calculo da matriz banda
C
C
              - SSFORM: condensar a matriz
c
              - COFRON: adicionar as condições de contorno
              - RESOL: resolver o sistema matricial
c
c
       Subrotinas adicionadas para o cálculo via Método dos Resíduos:
c
       -PITL3,PITQ3,PITC3: pontos de integração para os diferentes elementos tetraédricos 3D
С
       -PIHT3,PIHQ3,PIHC3: pontos de integração para os diferentes elementos hexaédricos 3D
c
       -FNTL3,FNTQ3,FNTC3: funções de forma para os diferentes elementos tetraédricos 3D
c
       -FNHT3,FNHQ3,FNHC3: funções de forma para os diferentes elementos hexaédricos 3D
c
c
       As subrotinas anteriores permitem escolhas de acordo com o tipo de elemento.
c
                    -----
c NOMENCLATURA:
  * deti
             - determinante do jacobiano
  * dn() - derivada de fn em relação a u e v
  * dnx,dny- derivada de fn em relação a x e y
  * ee(,) - matriz rigidez [=S(nkt,nkt)]
  * fn() - função de forma nodal
С
  * fo(,) - arranjo contendo os nos com condição de contorno
  * iaxe - define o tipo de eixo(0:cartesiano ou 1:axi-simetrico)
  * icterm -termo relacionado com as fontes de aquecimento
  * ikind - define o tipo de potencial(0:Escalar ou 1:Vetor)
Ç
  * irep - numero de pares de nos periódicos da malha
       =0> não ha periodicidade ou =1> ha period. no domínio
С
  * iterm - valor de uma constante (iterm=0)
С
  * ktri(,)- guarda o numero do meio do elemento
  * mat() - numero do meio em cada um dos NEL elementos
c
  * mb - matriz banda
  * mbb - Largura de banda
  * mrep(,)- guarda o arranjo com os pares de nos periódicos
c
  * nmat - numero de meios dielétricos
 * nno - numero de nos
С
  * nel - numero de elementos
  * nfron- numero de condições de fronteira
  * nkt - numero de nos de acordo com tipo de elemento
С
С
  * nonper - =0>caso periódico ou =1> caso anti-periódico
  * npi - número de pontos de integração
С
  * perm() - permissividade dos NMAT meios
  * ro() - densidade superficial de carga
 * ss() - matriz global
С
  * tp - numero que identifica o tipo de elemento 3D
```

* u,v, p - pontos de integração

```
c * ui,vi, pi - pontos de integração
c * vvi() - potencial imposto na fronteira
c * vdr() - vetor lado direito
c * vv() - potencial vetor incógnito
c * xcor() - coordenada x do nó
c * ycor() - coordenada y do nó
c * zcor() - coordenada z do nó
c * xr,yr - coordenadas dos elementos no espaço de referencia
c * xmu=perm()- permissividade dos NMAT meios
c * wi - peso
                                C=========
C-----PROGRAMA PRINCIPAL
   parameter (jjfron=250,jel=10000,jrep=400,jno=10000,jfron=150)
   parameter (jnband=1000000)
   integer nno,nel,nfron,irep,nonper,ikind,iaxe,mb,mat(jno)
   integer icdterm(jjfron),ktri(jel,32),iterm,fo(jjfron,jfron)
   integer tp,nkt,nmat,ncle
   double precision xcor(jno),ycor(jno),zcor(jno),vvi(jjfron)
   double precision mrep(jrep,2),vdr(jno),ss(jnband),vv(jno)
   double precision perm(30),ro(ino)
   write(*,*)' '
   write(*,*)' '
   write(6,'(a$)')' ATENCAO!!!'
   write(6, '(a$)')' ESTE PROGRAMA ESTA OPERANDO APENAS COM'
   write(6,'(a$)')' POTENCIAL ESCALAR EM 3D'
   write(*,*)'
C-----Chama DATAIN para entra de dados
    CALL DATAIN(nno,nel,nkt,tp,nfron,ktri,xcor,ycor,zcor,vvi,fo,mat,ro,perm,nmat)
c-----Chama BAND para o calculo da Matriz Banda
    CALL BAND(nel,nno,ktri,mb,nkt)
C-----Chama Subrotina ZERO para Inicialização das Matrizes
   CALL ZERO(nno,mb,vdr,vv,ss,mrep)
C-----Chama Subrotina FORM para Formação da Matriz Global SS
   CALL FORM(nel,irep,ikind,iaxe,nonper,mb,mrep,xcor,ycor,zcor,ktri,ss,nno,mat,ro,perm,nkt,tp)
C*****-Chama Subrotina COFRON para Inserção das Condições de Contorno VDR
   CALL COFRON(nfron,nno,iaxe,ikind,iterm,YCOR,MB,ICTERM,FO,VDR,VVI,SS)
C*****-Chama subrotina RESOL para Resolução do Sistema Matricial
C
                     [vv]=[vdr]/[ss]
    CALL RESOL(nno,mb,irep,nfron,iterm,SS,VDR,FO,VVI,VV)
c-----Chama subrotina SAIDA para impressão dos resultados
   CALL SAIDA(nno,nel,ikind,vv,vdr,nkt,tp,ktri,xcor,ycor,zcor)
   STOP
   END
```

```
c::::::c
                                                 C::::::
subroutine DATAIN(nno,nel,nkt,tp,nfron,ktri,xcor,
                                                 subroutine BAND(nel,nno,ktri,mb,nkt)
               ycor,zcor,vvi,fo,mat,ro,perm,nmat)
                                                    integer nel,nno,ktri(10000,32),mb,mbb
character namfs*20,namfu(20)
                                                    integer ivar,ktrid,imin,imax,idif
equivalence (namfs,namfu(1))
                                                    dimension ii(32)
parameter (jpont=150,jfron=150,jel=10000
parameter (jno=10000, jjfron=250)
                                                    mb=0
integer nmat,tp
                                                    do 1 i=1,nel
integer nno, nel, nfron, fo(jjfron, jfron), ktri(jel, 32), nkt
                                                     ivar=nkt
double precision xcor(jno),ycor(jno),zcor(jno),
                                                        do 2 k=1, ivar
               vvi(jjfron)
                                                         ii(k)=0
double precision ro(jno), perm(30), mat(jno),
                                                       if(ii(k).eq.0)ii(k)=ktri(i,k)
c----- Leitura do arquivo de dados
                                                   2 continue
    character namfu(20)
                                                        imin=10000
   integer ict
                                                        imax=0
   equivalence (namfs, namfu(1))
                                                        do 5 k=1, ivar
                                                         if(ii(k).lt.imin)imin=ii(k)
   write(6,'(/a$)')'Arquivo de Entrada(.dat):'
                                                         if(ii(k).gt.imax)imax=ii(k)
   read(5,'(a)')namfs
                                                   5 continue
   do 11 i=16,1,-1
                                                        idif=imax-imin
     if(namfu(i).ne.' ')goto 22
                                                        if(mb.lt.idif)mb=idif
11 continue
                                                   1 continue
    return
                                                    mbb=mb+1
22 namfu(i+1)='.'
                                                    write(6,'(//,a,i4)') ' Number of Elemts=',nel
   namfu(i+2)='d'
                                                    write(6,'(a,i4)') 'Number of Nodes=',nno
   namfu(i+3)='a'
                                                    write(6, '(a, i4)')
                                                                         Bandwidth='.mbb
   namfu(i+4)='t'
                                                    return
                                                    end
   open(10,file=namfs,form='formatted')
                                                C:::::c
   read(10,*)tp,nkt,nno,nel
                                                    subroutine ZERO(nno,mb,vdr,vv,ss,mrep)
                                                    double precision vdr(1), ss(1), vv(1), mrep(1,1)
C---Leitura da formação da malha
                                                    integer nno, mb, mbb
    do 1 i=1,nel
     read(10,*)(ktri(i,j),j=1,nkt),mat(i),ro(i)
                                                    mbb=mb+1
                                                    do 1 i=1,nno
C---Leitura de coordenadas dos nos
                                                     mrep(i,1)=0.
   do 2 i=1,nno
                                                     mrep(i,2)=0.
     read(10,*)xcor(i),ycor(i),zcor(i)
                                                     vv(i)=0.
    read(10,*)nfron
                                                     vdr(i)=0.
C---Leitura de condições de contorno
                                                     do 1 n=1,mbb
   do 3 i=1,nfron
                                                       in=(i-1)*mbb+n
    read(10,*)vvi(i)
                                                   1 \operatorname{ss(in)}=0.
    read(10,*)(fo(i,j),j=1,20)
                                                   return
    continue
                                                    end
   read(10,*)nmat
                                                C---Leitura das permissividades dos meios
   do 4 i=1,nmat
     read(10,*)perm(i)
   return
   end
```

```
C:....c
                                                     c----Chama subrotina com os Pontos de
Subroutine FORM(nel,irep,ikind,iaxe,nonper,mb,
                                                     Integração
* mrep,xcor,xcor,zcor,ktri,ss,nno,mat,ro,perm,nkt,tp)
                                                      if(nkt.eq.4) call pitl3(npi,ui,vi,pi,wi)
double precision xcor(1),ycor(1),zcor(1),xr(32),
                                                      if(nkt.eq.10)call pitq3(npi,ui,vi,pi,wi)
                vr(32),zr(32)
                                                      if(nkt.eq.20.and.tp.eq.3)call pitc3(npi,ui,vi,pi,wi)
double precision ss(1),mrep(1,1),perm(1),ro(1),xmu
                                                      if(nkt.eq.8)call pih3(npi,ui,vi,pi,wi)
integer nel,irep,ikind,iaxe,nonper,mb,ktri(10000,32)
                                                      if(nkt.eq.20.and.tp.eq.5)call pih3(npi,ui,vi,pi,wi)
integer nno, mat(1), nkt, tp
                                                      if(nkt.eq.32)call pih3(npi,ui,vi,pi,wi)
dimension ee(32,32)
                                                     C-----Atribui os Pontos de Integração a u,v,p
   write(6,*)' '
                                                        do 18 k=1,npi
   write(6,*)' Scalar Potential'
                                                           u=ui(k)
     ikind=0
                                                           v=vi(k)
    write(6,'(a$)')' Cartesian'
                                                           p=pi(k)
     iaxe=0
                                                           w=wi(k)
     nonper=0
     irep=0
                                                     C-----Chamada da subrotina contendo as Funções
   write(6,*)' '
                                                     de Forma Nodais
   write(6,'(/,a)')' Matrix Assembly ...'
                                                       if(nkt.eq.4) call fntl3(u,v,p,xr,yr,zr,fn,dnx,dny,
                                                                            dnz,detj)
   do 1 i=1.nel
                                                      if(nkt.eq.10)call fntq3(u,v,p,xr,yr,zr,fn,dnx,dny,
                                                                             dnz,detj)
c----Coordenadas dos Elementos de Referência
                                                      if(nkt.eq.20.and.tp.eq.3)call fntc3(u,v,p,xr,yr,zr,
     do 20 j=1,nkt
                                                                                fn,dnx,dny,dnz,detj)
      xr(j)=xcor(ktri(i,j))
                                                      if(nkt.eq.8) call fnht3(u,v,p,xr,yr,zr,fn,dnx,dny,
      yr(j)=ycor(ktri(i,j))
                                                                            dnz,detj)
      zr(j)=zcor(ktri(i,j))
                                                      if(nkt.eq.20.and.tp.eq.5)call fnhq3(u,v,p,xr,yr,zr,
20
      continue
                                                                                 fn,dnx,dny,dnz,detj)
     nm=mat(i)
                                                      if(nkt.eq.32)call fnhc3(u,v,p,xr,yr,zr,fn,dnx,dny,
     xmu=perm(nm)
                                                                             dnz,detj)
c----Com a permeabilidade, calcula as contribuições
                                                           if(Abs(detj).gt.1.e-15) go to 1
       call CONTRB(nkt,tp,xmu,xr,yr,zr,ee)
                                                           write(6,*)' Area of Triangle is Zero'
c----Condensa as contribuições na matriz global
                                                     c----Calculo da matriz ee
 call SSFORM(i,nkt,ktri,ee,irep,nonper,mrep,mb,ss)
                                                           do 11 l=1,nkt
                                                          do 12 \text{ m}=1,\text{nkt}
    continue
                                                            coef=detj*xmu*w
   return
   end
                                                    ee(l,m)=ee(l,m)+(dnx(l)*dnx(m)+dny(l)*dny(m)+
                                                     &
                                                                            dnz(l)*dnz(m))*coef
12
                                                           continue
subroutine CONTRB(nkt,tp,xmu,xr,yr,ee)
                                                    11
                                                           continue
integer npi,nkt,tp
                                                     18 continue
double precision xr(32), yr(32), zr(32), dnx(32), coef
                                                        return
double precision xmu, detj, dny(32), dnz(32), fn(32)
                                                        end
double precision u,v,p,w,ui(14),vi(14),pi(14),wi(14)
                                                    dimension ee(32,32)
   do 4 i=1.nkt
    do 4 j=1,nkt
      ee(i, j) = 0.0
```

```
C==SUBROTINA PARA PROCURA DE
Subroutine SSFORM(i,nkt,ktri,ee,irep,nonper,
                                                 POSSIVEL NO PERIODICO==C
                    mrep, mb, ss)
                                                    subroutine CHERCH(ij,ij1,irep,mrep)
    double precision ss(1), mrep(1,1)
                                                    double precision mrep(1,1)
    integer mb, mbb, irep, nonper, nkt, ktri(10000, 32)
                                                    integer ij,ij1,irep
    dimension ee(32,32), iaux(32), mm(32)
                                                    ii1=0
    do i=1,nkt
                                                    do 1 i=1, irep
    mm(i)=0
                                                        if(mrep(i,2).ne.ij)go to 1
    enddo
                                                        ij1=mrep(i,1)
   mbb=mb+1
                                                        return
   if(irep.eq.0)go to 1
                                                   1 continue
c----- Procura possível no periódico
                                                    return
    do 7 k0=1,nkt
                                                    end
       ij=ktri(i,k0)
                                                 c::::::c
       m_j = m_m(k_0)
                                                 subroutine COFRON(nfron,nno,iaxe,ikind,iterm,
7
       call Cherch(ij,mj,irep,mrep)
                                                            ycor, mb, icdterm, fo, vdr, vvi, ss)
C----
                                                 parameter (jjfron=250,jfron=150)
1
     do 8 k1=1,nkt
                                                 double precision ss(1),vdr(1),vvi(1),ycor(1),xnorm,
8
        iaux(k1)=ktri(i,k1)
                                                               funcss
    do 9 \text{ k2=1,nkt}
                                                 integer nfron,nno,iaxe,ikind,iterm,mb,mbb,icdterm(1)
9
       if(mm(k2).ne.0)iaux(k2)=mm(k2)
                                                 integer fo(jjfron,jfron)
   if(nonper.eq.0)goto 5
   do 3 m=1,nkt
                                                    iterm=0
     if(mm(m).eq.0)goto 3
                                                    xnorm=0.
     do 4 n=1,nkt
                                                    Mbb=mb+1
       if(m.eq.n)goto 4
                                                    do 10 i=1,nno
       ee(m,n)=-ee(m,n)
                                                     ij=(i-1)*mbb+1
       ee(n,m)=ee(m,n)
                                                     funcss=ss(ij)
  4 continue
                                                     IF(xnorm.lt.Abs(funcss)) xnorm=Abs(funcss)
  3 continue
                                                  10 continue
  5 do 2 m=1,nkt
                                                c---- Aproximação para evitar perda dos termos
     im=iaux(m)
                                                    xnorm=xnorm*1e+14
     do 2 j=1,nkt
                                                    do 1 = 1, nfron
       ij=iaux(j)
                                                     if(iterm.eq.0.and.icdterm(i).ne.0)goto 1
      if(im.gt.ij)go to 2
                                                     if(iterm.eq.1.and.icdterm(i).ne.2)goto 1
c----- Troca índice ij para condensar matriz
                                                     do 2 n=1, if ron
banda
                                                       if(fo(i,n).eq.0)goto 1
      ij=ij-im+1
                                                       j=fo(i,n)
      ijm=(im-1)*mbb+ij
                                                       vdr(j)=vvi(i)*xnorm
      ss(ijm)=ss(ijm)+ee(j,m)
  2 continue
                                                if(iaxe.eq.1.and.ikind.eq.1.and.abs(ycor(j)).gt.1.e-
   return
                                                6)then
   end
                                                        vdr(j)=vdr(j)/(2.*3.141593*ycor(j))
endif
                                                       j1=(j-1)*mbb+1
                                                       ss(i1)=xnorm
                                                      continue
                                                  1 continue
                                                   return
                                                   end
                                                c::::::c
```

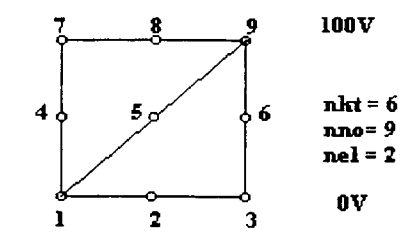
```
C::::::C
                                                        ni=nno-i
subroutine RESOL(nno, mb, irep, nfron, iterm, ss,
                                                        ni1=(ni-1)*mbb+1
                   vdr,fo,vvi,vv)
                                                        if(irep.ne.0.and.Abs(ss(ni1)).lt..1e-12)go to 7
parameter (jjfron=250,jfron=150)
                                                        som=0.
double precision ss(1),vdr(1),vvi(1),vv(1)
                                                        Min=i-mb+1
integer nno, mb, irep, nfron, iterm, nn, mbb, icont,
                                                        if(min.lt.1)min=1
        mmax,min,in,im,nno1
                                                        do 8 n=min.i
double precision fat.som
                                                          ib=nno-n+1
integer fo(jjfron,jfron)
                                                          som=som+dble(ss((ni-1)*mbb+ib-ni+1))*
                                                   &
                                                                         dble(vv(ib))
    icont=0
                                                     8
                                                         continue
    write(6,'(a$)') ' Matrix Solution ....'
                                                        vv(ni)=(vdr(ni)-som)/ss(ni1)
    nn=nno-1
                                                     7 continue
   mbb=mb+1
                                                   c----- Restitui zero nos nos dirichlet, quando
c----- Tridiagonaliza a matriz
                                                   eletromagnético
   do 1 i=1,nn
                                                      if(ITERM.eq.1)return
     icont=icont+1
                                                      do 10 i=1,NFRON
     if(icont.eq.int(nno*.2))write(6,'(a$)')'
                                                        if(Abs(vvi(i)).gt.1e-30)goto 10
     if(icont.eq.int(nno*.4))write(6,'(a$)')'
                                          40%'
                                                        do 11 = 1, if ron
     if(icont.eq.int(nno*.6))write(6,'(a$)')'
                                          60%'
                                                          if(fo(i,j).eq.0)goto 10
     if(icont.eq.int(nno*.8))write(6,'(a$)')' 80%'
                                                          vv(fo(i,j))=0.
     if(icont.eq.int( nn*1.))write(6,'(a$)')' 100%'
                                                    11
                                                         continue
     funci=ss((i-1)*mbb+1)
                                                    10 continue
     ii=i+1
                                                      return
     if(IREP.ne.0.and.Abs(funci).lt..1e-5)go to 1
                                                      end
     mmax=i+mb
                                                   if(mmax.gt.nno)mmax=nno
     in=(i-1)*mbb-i+1
c-- Coloca a zero todos os coef menores que 1.e-16
     do 13 m=ii,mmax
      if(abs(ss(in+m)).lt.1.e-16)ss(in+m)=0.
  13 continue
c----- Passa as transformações
     do 2 m=ii,mmax
       fat=ss(in+m)/funci
       if(Dabs(fat).lt..1e-18)go to 2
       if(abs(vdr(i)).lt.1.e-16)goto 12
       vdr(m)=vdr(m)-vdr(i)*fat
  12
        im=(m-1)*mbb-m+1
       do 5 j=m,mmax
        ss(im+j)=ss(im+j)-ss(in+j)*fat
  5
       continue
  2 continue
  1 continue
c---- Com a matriz modificada, volta pela diagonal
   nno1=(nno-1)*mbb+1
  if(IREP.ne.0.and.Abs(ss(nno1)).lt..1e-12)go to 6
    vv(nno)=vdr(nno)/ss(nno1)
  6 do 7 i=1,nn
```

	,
c::::::c	if(nkt.eq.10)then
subroutine SAIDA(nno,nel,ikind,vv,vdr,nkt,tp,ktri,	write(11,43)
* xcor,ycor,zcor)	43 format('TETRAEDRICO QUADRATICO
double precision vv(1),vdr(1),vvmax,vvmin,xm0	* DE SEGUNDA ORDEM ')
* $xcor(1),ycor(1),zcor(1),emod$	endif
double precision $u,v,p,fn(32),dnx(32),dny(32),$	if(nkt.eq.20.and.tp.eq.3)then
* dnz(32),somax,somay,somaz	write(11,44)
double precision $xr(32),yr(32),zr(32),ex,ey,ez$	44 format(' TETRAEDRICO CUBICO DE
integer nno,ikind,ns,nkt,ktri(10000,32),nel,tp	* TERCEIRA ORDEM ')
data numors/0/	endif
	if(nkt.eq.8)then
XM0=4.*3.1415926*1.e-7	write(11,45)
Numors=numors+1	45 format(' HEXAEDRICO TRILINEAR DE
Vvmax=-1.e+20	* PRIMEIRA ORDEM ')
Vvmin= 1.e+20	endif
if(ikind.eq.0)then	if(nkt.eq.20.and.tp.eq.5)then
do $1 i=1,nno$	write(11,46)
if(vv(i).gt.vvmax)vvmax=vv(i)	46 format(' HEXAEDRICO QUADRATICO
if(vv(i).lt.vvmin)vvmin=vv(i)	* DE SEGUNDA ORDEM ')
1 continue	endif
else	if(nkt.eq.32)then
do 10 i=1,nno	write(11,47)
vdr(i)=vv(i)*xm0	47 format(' HEXAEDRICO CUBICO DE
if(vdr(i).gt.vvmax)vvmax=vdr(i)	* TERCEIRA ORDEM ')
if(vdr(i).lt.vvmin)vvmin=vdr(i)	endif
10 continue	write(11,48)
endif	48
write(6,'(///a,e10.4)')' Min Pot=',vvmin	format('C=======C')
write(6,'(a,e10.4)')' Max Pot=',vvmax	write(11,*)' Numero de Nos=',nno
write(6,'(/,a)')' Storing Results'	write(11,*)' Numero de Elementos=',nel
_	write(11,*)' '
cImpressão dos resultados em um arquivo	
write(6,*)' '	CImpressão de potencialidades nos NÓS
write(6,*)' OS RESULTADOS	write(11,*)' POTENCIAL EM CADA NO '
ENCONTRAM-SE NO ARQUIVO SAIDA.DAT'	
write(6,*)' '	do 81 m=1,nno
open (11,file='saida.dat',form='formatted')	81 write(11,90)m,vv(m)
write(11,39)	90 format('No:',i3,' Potencial=',e10.4)
39	write(11,*)' '
format('C=========C')	
write(11,40)	CImpressão dos campos nos elementos
40 format(' PROGRAMA DE CALCULO DE	write(11,*)'VALOR DOS CAMPOS
* CAMPOS POR ELEMENTOS FINITOS ')	* ELETRICOS EM CADA ELEMENTO'
write(11,41)	
41 format(' UTILIZANDO A FUNCAO DE	CCHAMA GRAD PARA CALCULO DOS
* FORMA NODAL PARA O ELEMENTO ')	CAMPO OU GRADIENTES
if(nkt.eq.4)then	do 102 in=1,nel
write(11,42)	somax=0.
format(' TETRAEDRICO LINEAR DE	somay=0.
* PRIMEIRA ORDEM ')	somaz=0.
endif	

```
c----Coordenadas dos Elementos de Referencia
     do 20 i=1.nkt
      xr(j)=xcor(ktri(in,j))
      yr(j)=ycor(ktri(in,j))
      zr(j)=zcor(ktri(in,j))
20
      continue
     u=0.
     v=0.
     p=0.
     if(nkt.eq.4) call fnt13(u,v,p,xr,yr,zr,fn,dnx,dny,dnz,detj)
     if(nkt.eq.10)call fntq3(u,v,p,xr,yr,zr,fn,dnx,dny,dnz,detj)
     if(nkt.eq.20.and.tp.eq.3)call fntc3(u,v,p,xr,yr,zr,fn,dnx,dny,dnz,detj)
     if(nkt.eq.8) call fnht3(u,v,p,xr,yr,zr,fn,dnx,dny,dnz,deti)
     if(nkt.eq.20.and.tp.eq.5)call fnhq3(u,v,p,xr,yr,zr,fn,dnx,dny,dnz,detj)
     if(nkt.eq.32)call fnhc3(u,v,p,xr,yr,zr,fn,dnx,dny,dnz,detj)
     do 76 j=1,nkt
       somax = somax + (dnx(j)*vv(ktri(in,j)))
       somay=somay-(dny(j)*vv(ktri(in,j)))
       somaz=somaz-(dnz(j)*vv(ktri(in,j)))
76
       continue
     ex=-somax
     ey=-somay
     ez=-somaz
     emod=sqrt(ex*ex+ey*ey+ez*ez)
     if(abs(ex).lt.1e-8)ex=0.0
     if(abs(ey).lt.1e-8)ey=0.0
     write(11,95)in,ex,ey,ez,emod
95
      format('Elem:',i3,' Ex=',e10.4,' Ey=',e10.4,' Ez=',e10.4,
         ' Er=',e10.4,)
102 continue
   return
   end
```

3 – RESULTADOS OBTIDOS DOS PROGRAMAS EM 2D E 3D

Triangular Quadrático 2D



0V

Arquivo de Entrada:

6

9

2

1 2 3 6 9 5 1 .0000E+00

9 8 7 4 1 5 1 .0000E+00

.0000 .0000

.5000 .0000

1.0000 .0000

.0000 .5000

.5000 .5000

1.0000 .5000

.0000 1.0000

.5000 1.0000

1.0000 1.0000

2

100.00

7 8 9 0 0 0 0 0 0 0 0 0 0 0

0 0 0 0 0 0

.00

1 2 3 0 0 0 0 0 0 0 0 0 0

0 0 0 0 0 0

1

.1000E+01

Arquivo de Saída:

PROGRAMA DE CÁLCULO DE CAMPOS POR ELEMENTOS FINITOS UTILIZANDO A FUNÇÃO DE FORMA NODAL PARA O ELEMENTO TRIANGULAR QUADRÁTICO DE SEGUNDA ORDEM

Número de Nós = 9

Número de Elementos = 2

POTENCIAL EM CADA NÓ

No: 1 Potencial = .0000E+00

No: 2 Potencial = .0000E+00

Nó: 3 Potencial = .0000E+00

Nó: 4 Potencial = .5000E+02

No: 5 Potencial = .5000E+02

Nó: 6 Potencial = .5000E+02

Nó: 7 Potencial = .1000E+03

Nó: 8 Potencial = .1000E+03

Nó: 9 Potencial = .1000E+03

VALOR DOS CAMPOS ELÉTRICOS EM **CADA ELEMENTO**

Elem: 1 Ex = .0000E + 00 Ey = .1000E + 03

Er = .1000E + 03

Elem: 2 Ex = .0000E + 00 Ey = .1000E + 03

Er = .1000E + 03

HEXAÉDRICO QUADRÁTICO .5000 1.0000 1.0000 .0000 1.0000 1.0000 .5000 .0000 1.0000 2 12 **1**7 100.00 10 ¢ 13 14 15 17 nkt = 20 16 18 19 20 nno= 20 0 0 0 0 0 0 0 0 nel= 1 0 0 0 0 100V - Nós: 13 até 20 .00 OV - Nós: laté 8 1 2 3 5 6 7 8 ARQUIVO DE ENTRADA: 0 0 0 0 0 0 0 0 5 0 0 0 0 20 1 20 .1000E+01 1 2 1 3 5 7 4 6 8 9 12 10 11 13 14 15 16 17 20 18 19 1 .0000E+00 .0000 .0000 .0000 .5000 .0000 .0000 1.0000 .0000 .0000 1.0000 .5000 .0000 1.0000 1.0000 .0000 .5000 1.0000 .0000 .0000 1.0000 .0000 .0000 .5000 .0000 .0000 .0000 .5000 1.0000 .5000 .0000 1.0000 1.0000 .5000 .0000 1.0000 .5000 .0000 .0000 1.0000 .5000 .0000 1.0000 1.0000 .0000 1.0000 1.0000 .5000 1.0000 1.0000 1.0000 1.0000

ARQUIVO DE SAIDA: PROGRAMA DE CALCULO DE CAMPOS POR ELEMENTOS FINITOS UTILIZANDO A FUNÇÃO DE FORMA NODAL PARA O ELEMENTO HEXAÉDRICO QUADRÁTICO DE SEGUNDA ORDEM Número de Nós= 20 Número de Elementos= 1 POTENCIAL EM CADA NÓ No: 1 Potencial= .0000E+00 No: 2 Potencial= .0000E+00 No: 3 Potencial= .0000E+00 No: 4 Potencial = .0000E+00 No: 5 Potencial= .0000E+00 No: 6 Potencial= .0000E+00 No: 7 Potencial= .0000E+00 No: 8 Potencial= .0000E+00 No: 9 Potencial= .5000E+02 No: 10 Potencial= .5000E+02 No: 11 Potencial= .5000E+02 No: 12 Potencial= .5000E+02 No: 13 Potencial= .1000E+03 No: 14 Potencial= .1000E+03No: 15 Potencial= .1000E+03 No: 16 Potencial= .1000E+03 No: 17 Potencial= .1000E+03 No: 18 Potencial= .1000E+03 No: 19 Potencial = .1000E+03 No: 20 Potencial= .1000E+03 VALOR DOS CAMPOS ELÉTRICOS EM CADA ELEMENTO Elem: 1 Ex=-.2891E-05 Ey=.7188E-05Ez= .1000E+03 Er= .1000E+03